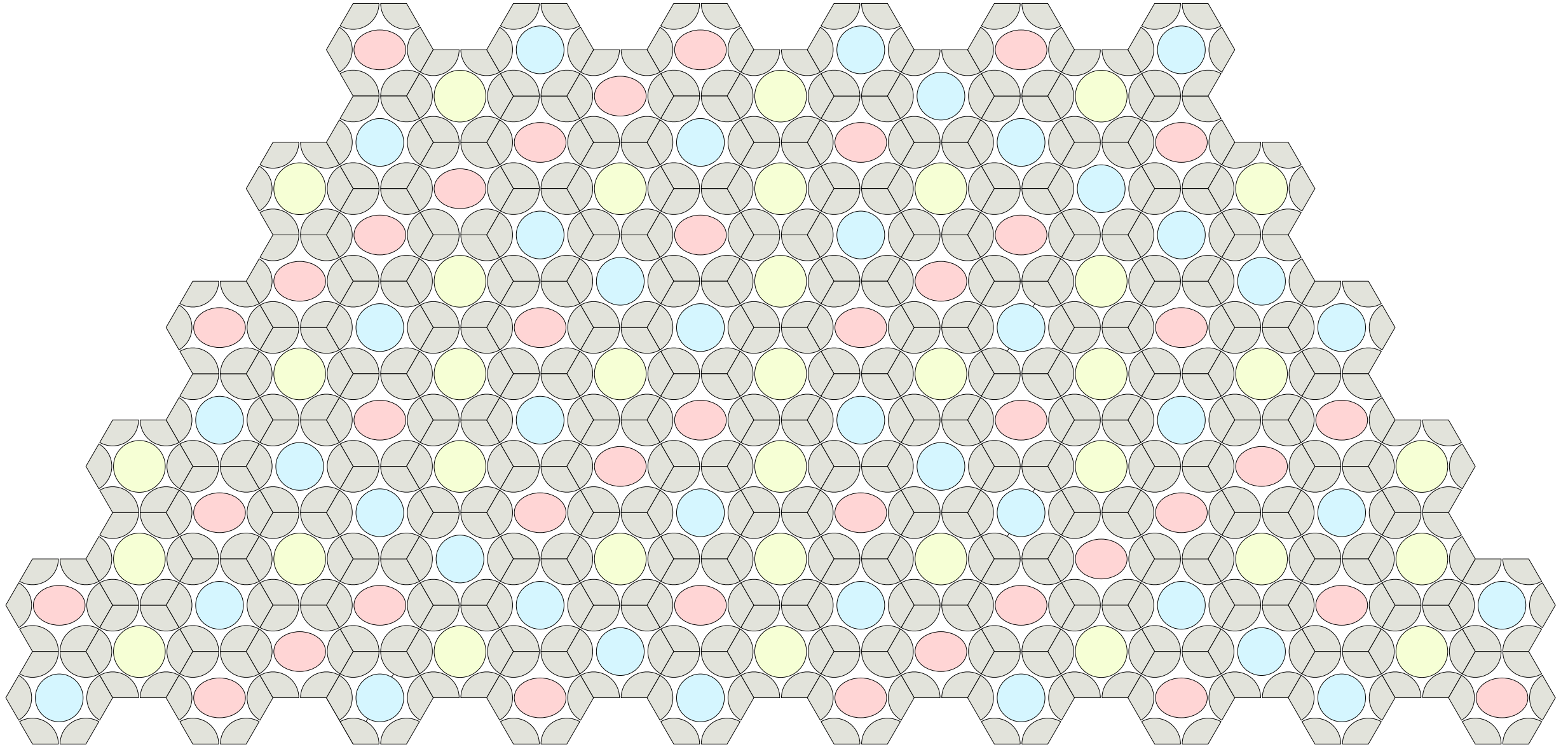


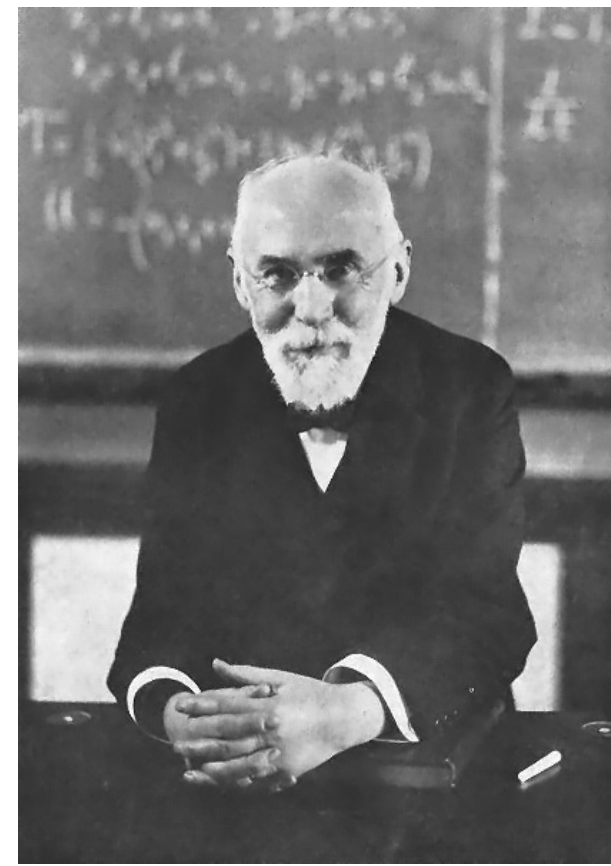
# El gas de Lorentz y cuasicristales



Rodrigo Treviño

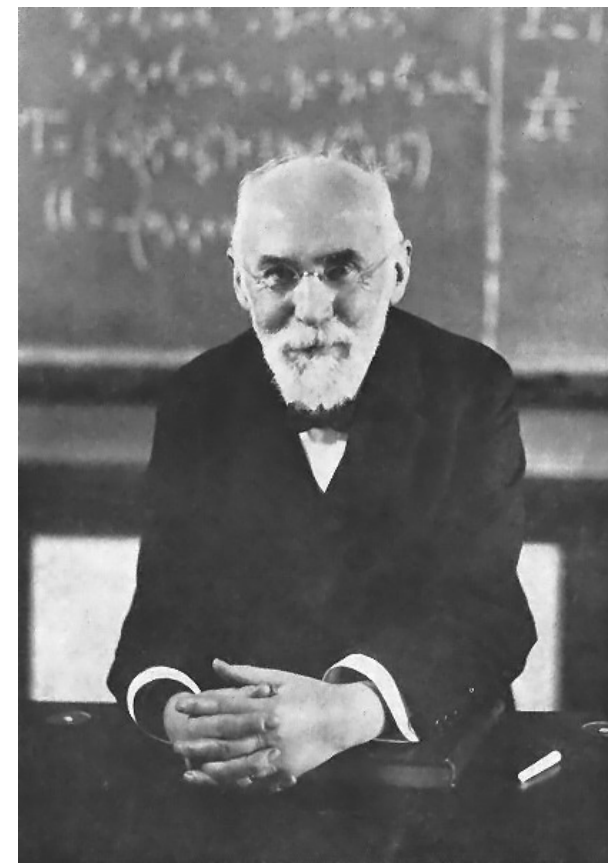
# El gas de Lorentz

# El gas de Lorentz



# El gas de Lorentz

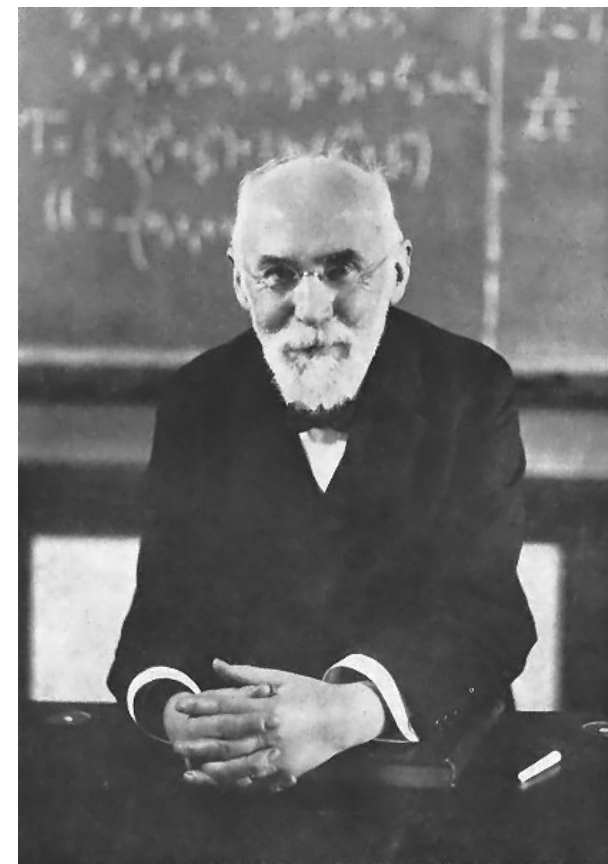
1905: Describe el movimiento de electrones dentro de metales



# El gas de Lorentz

1905: Describe el movimiento de electrones dentro de metales

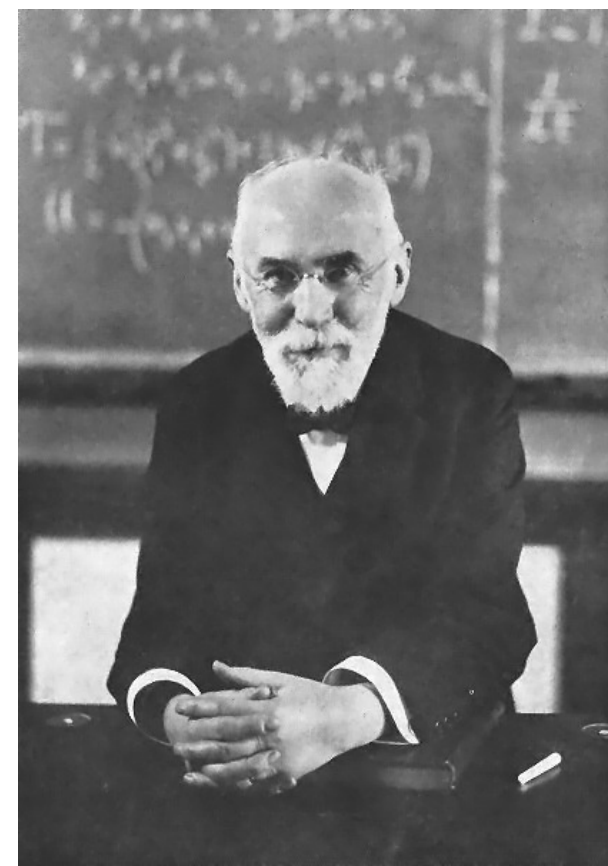
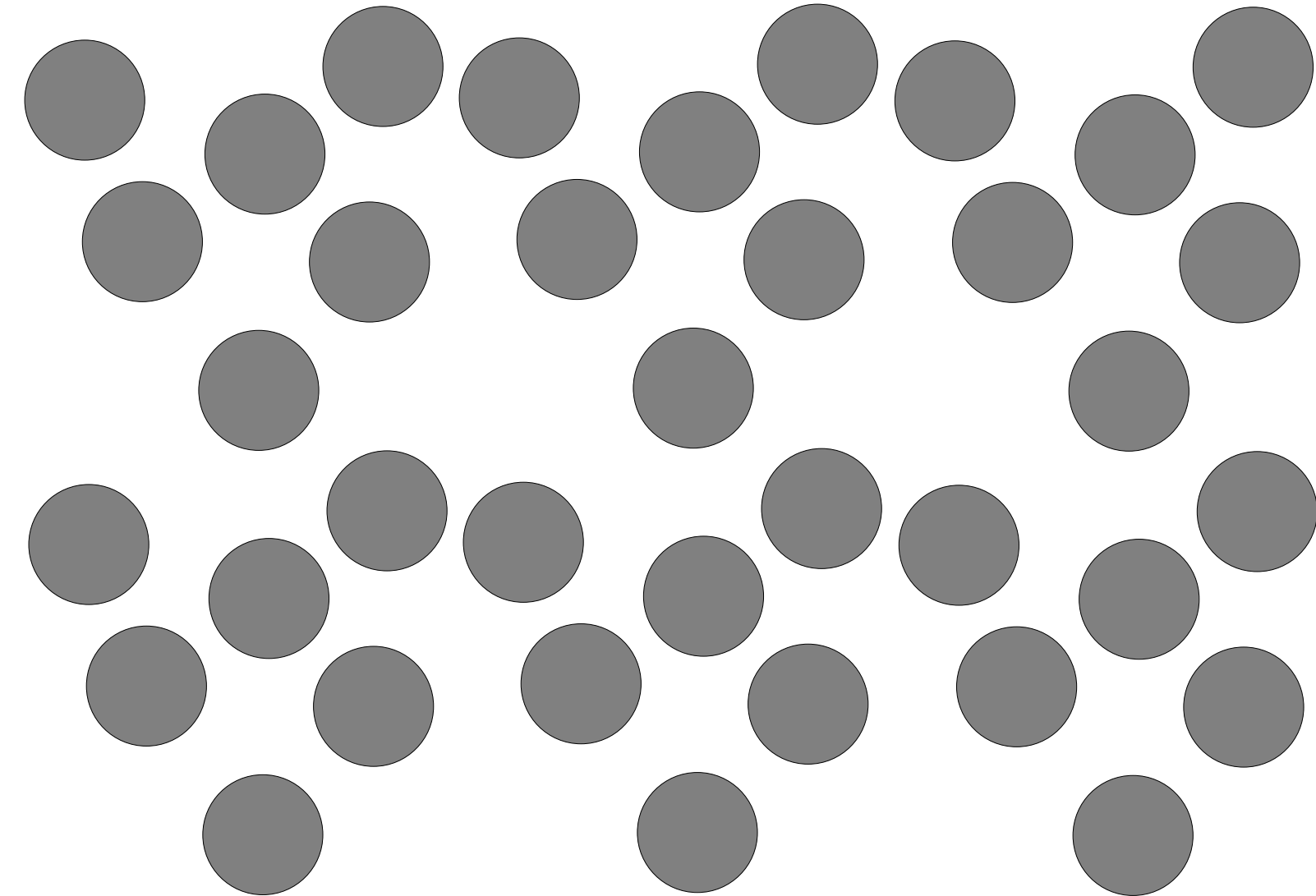
Suponiendo que no interactúan entre ellos, seguimos el movimiento de un electrón



# El gas de Lorentz

1905: Describe el movimiento de electrones dentro de metales

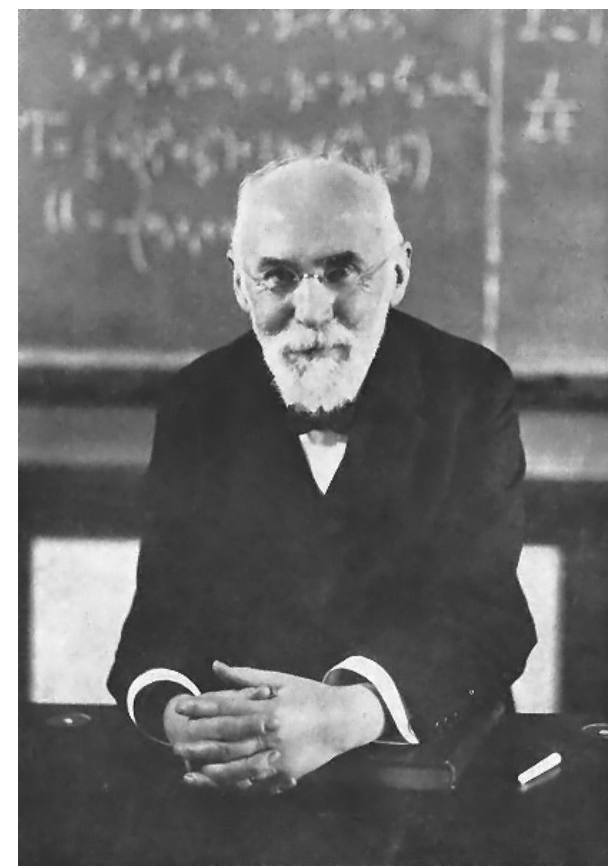
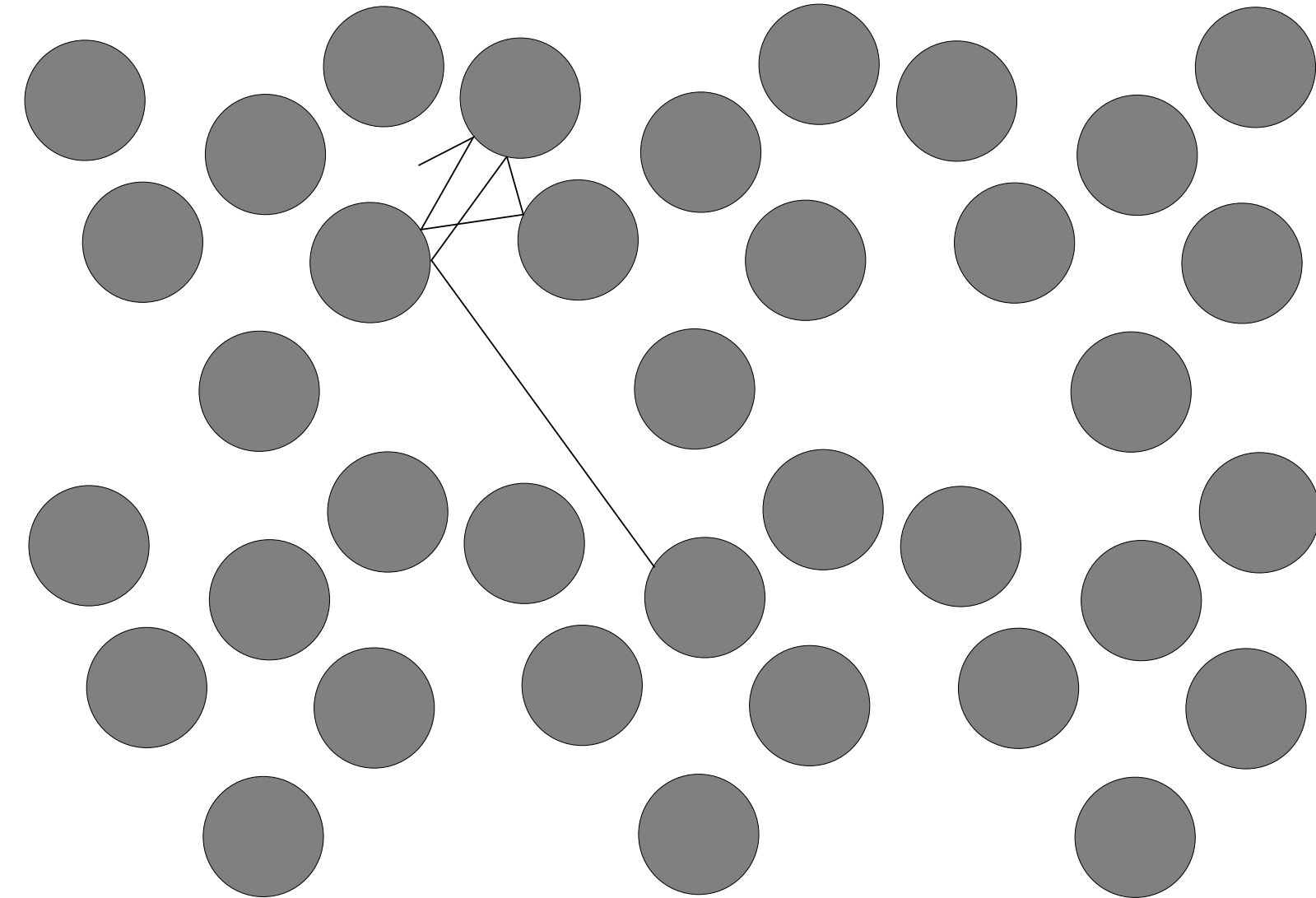
Suponiendo que no interactúan entre ellos, seguimos el movimiento de un electrón



# El gas de Lorentz

1905: Describe el movimiento de electrones dentro de metales

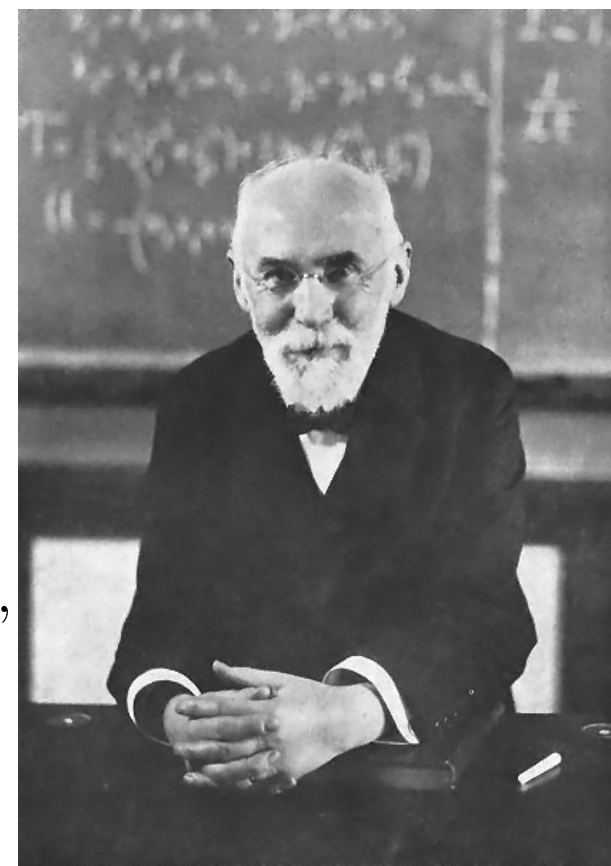
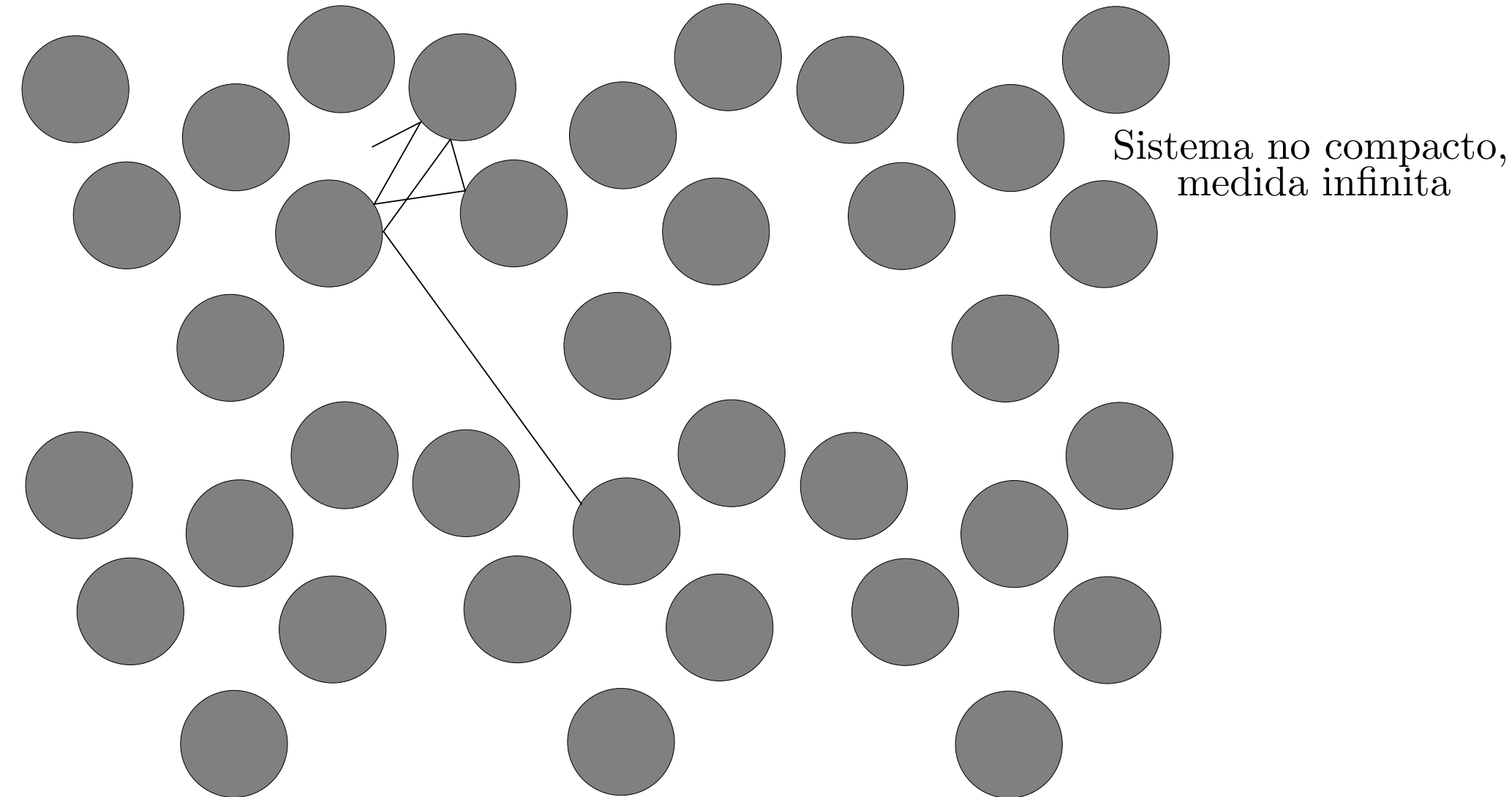
Suponiendo que no interactúan entre ellos, seguimos el movimiento de un electrón



# El gas de Lorentz

1905: Describe el movimiento de electrones dentro de metales

Suponiendo que no interactúan entre ellos, seguimos el movimiento de un electrón

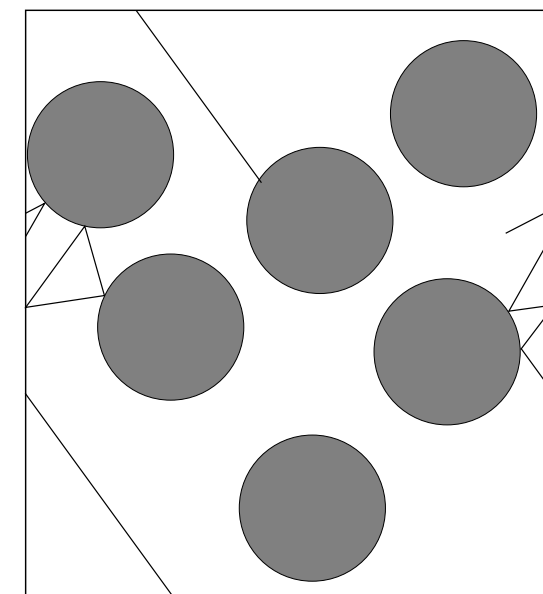
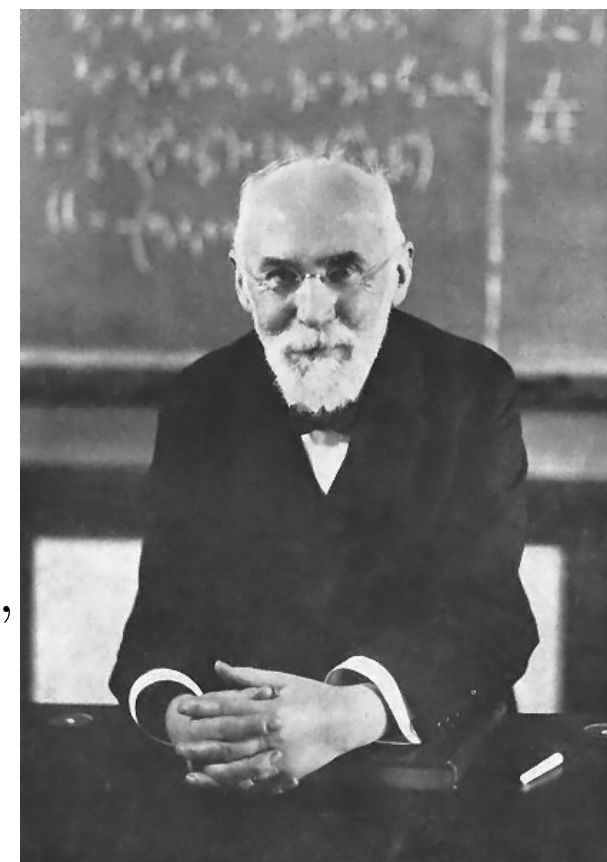
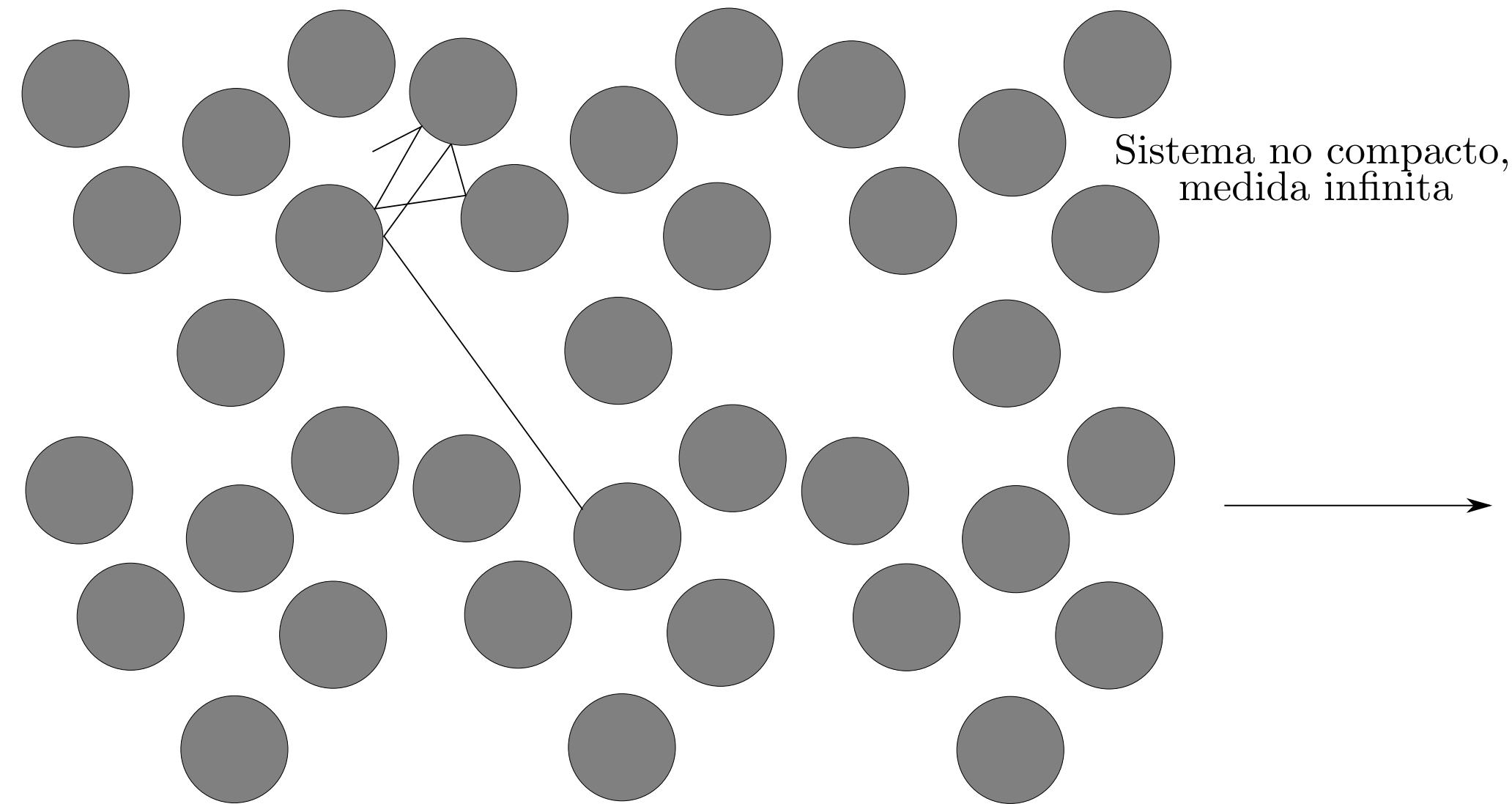




# El gas de Lorentz

1905: Describe el movimiento de electrones dentro de metales

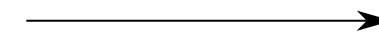
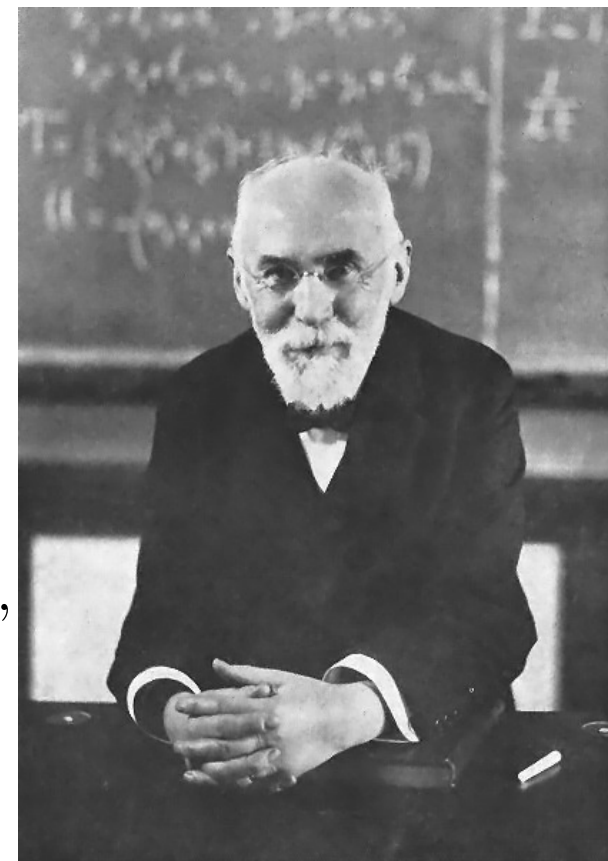
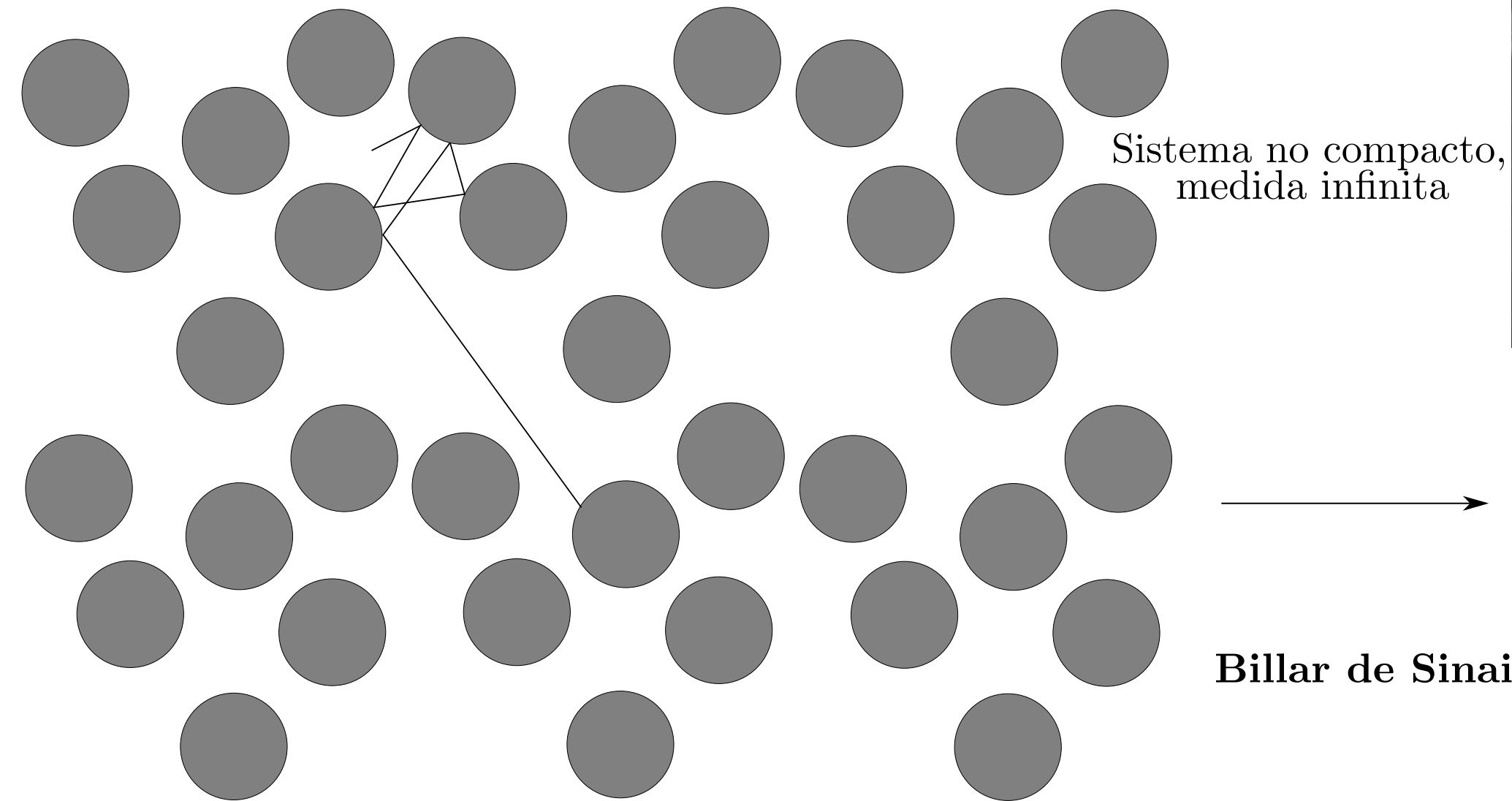
Suponiendo que no interactúan entre ellos, seguimos el movimiento de un electrón



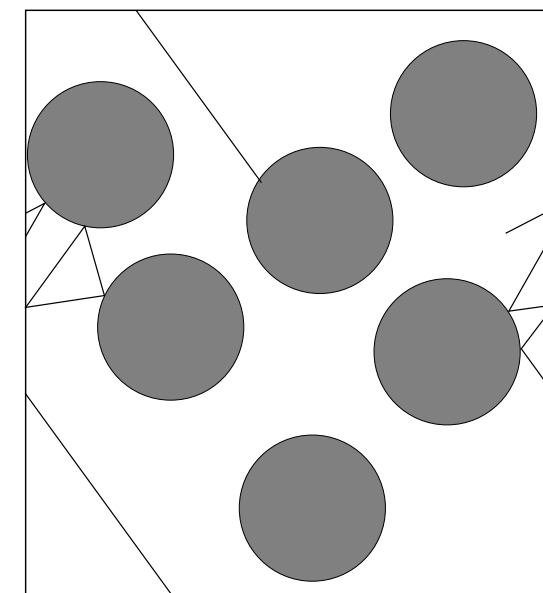
# El gas de Lorentz

1905: Describe el movimiento de electrones dentro de metales

Suponiendo que no interactúan entre ellos, seguimos el movimiento de un electrón



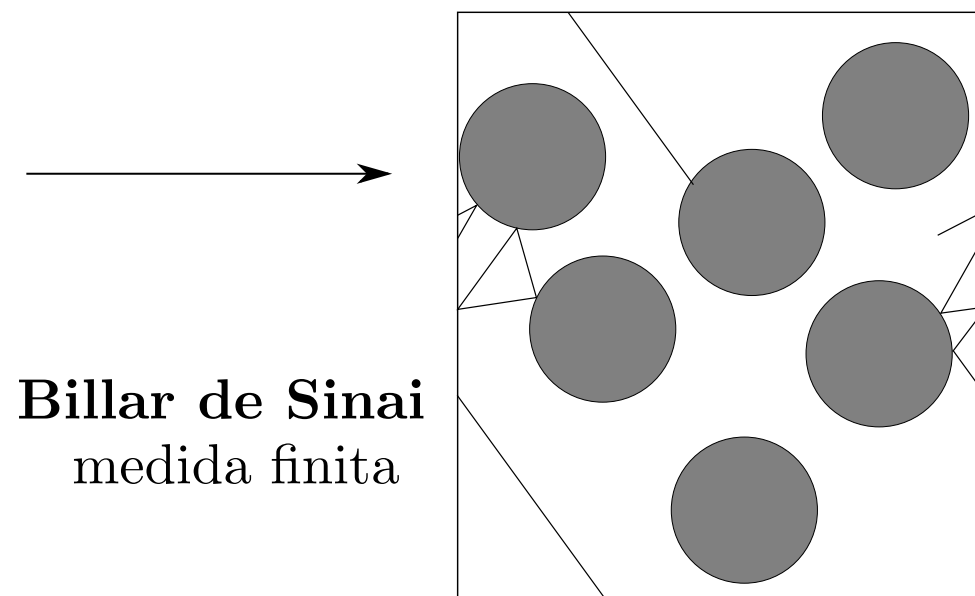
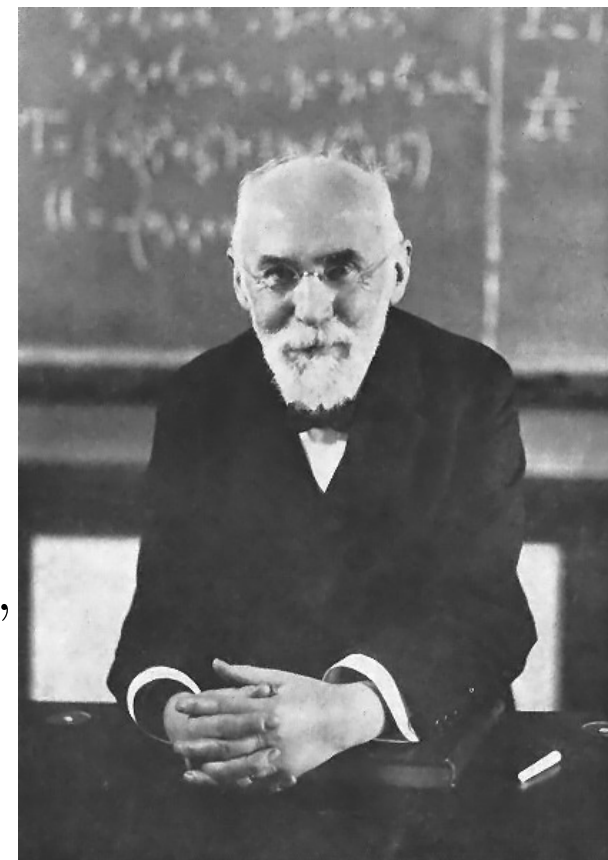
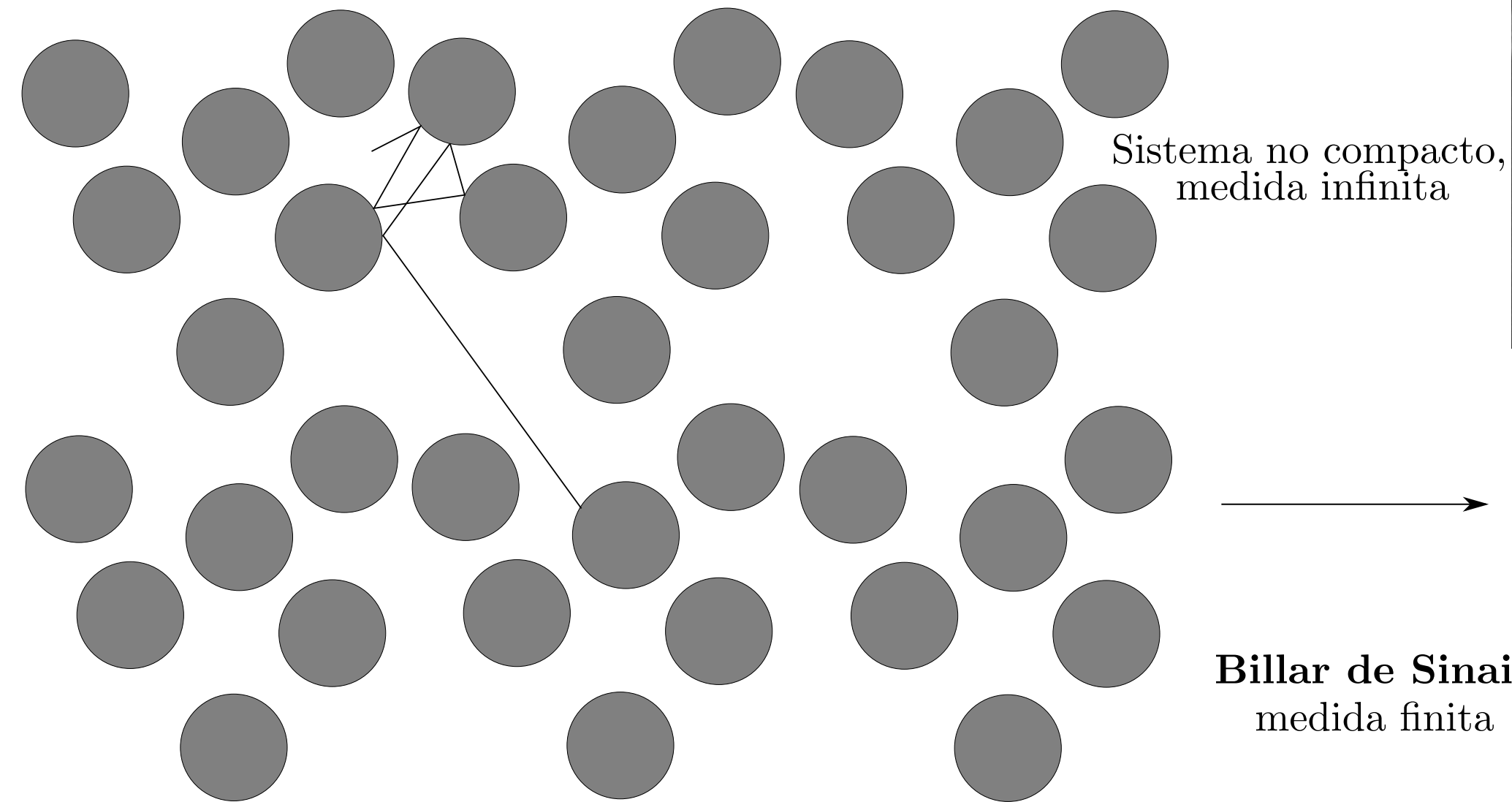
**Billar de Sinai**



# El gas de Lorentz

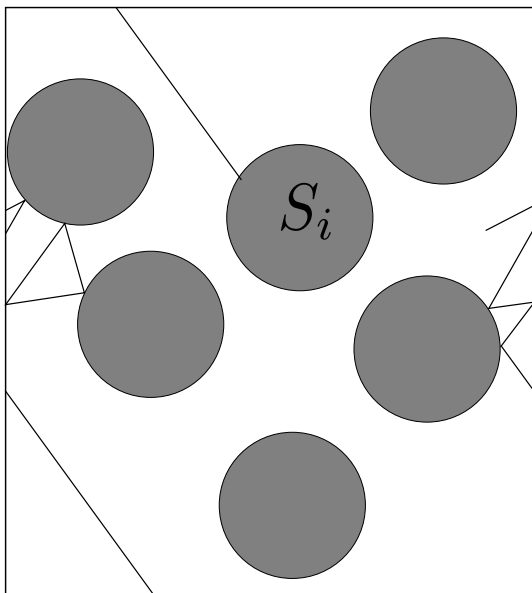
1905: Describe el movimiento de electrones dentro de metales

Suponiendo que no interactúan entre ellos, seguimos el movimiento de un electrón



# Billar de Sinai

# Billar de Sinai

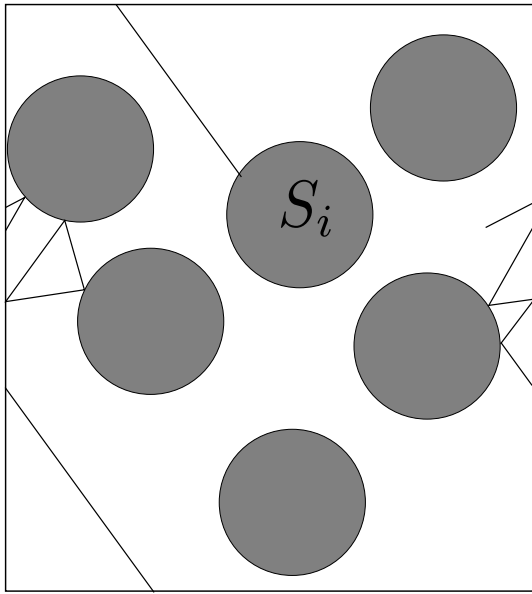


# Billar de Sinai

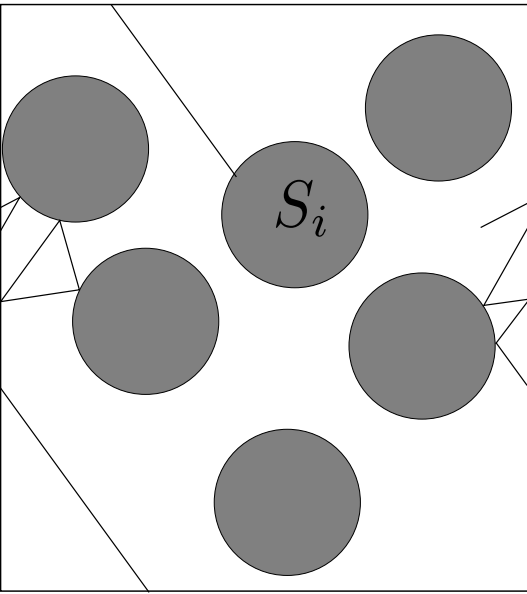
$S_i$

Obstáculos

$\Gamma_i = \partial S_i$



# Billar de Sinai



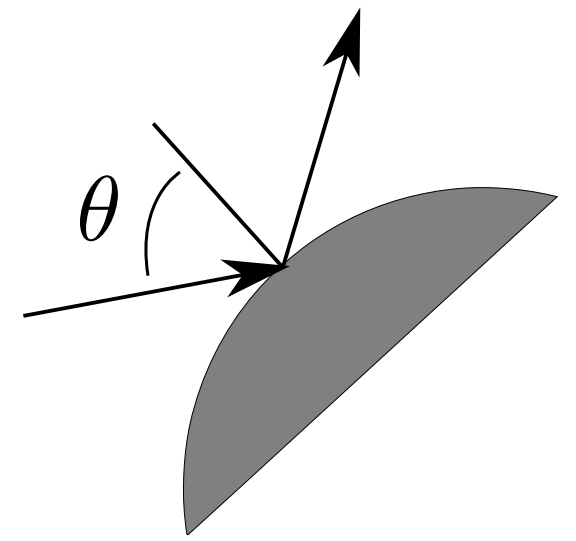
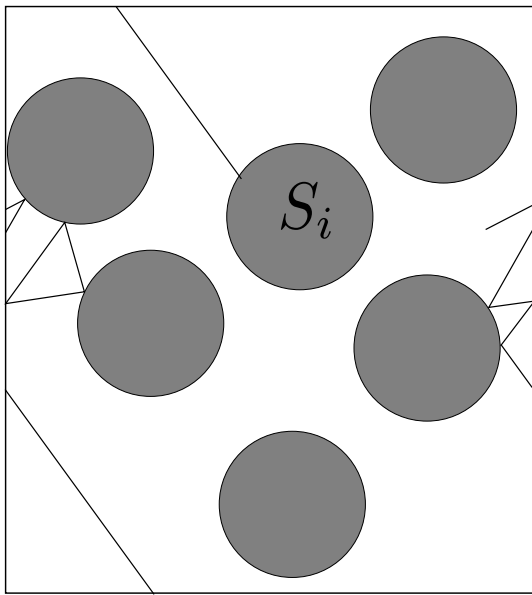
$S_i$       Obstáculos       $\Gamma_i = \partial S_i$

$$\bigsqcup \Gamma_i \times [-\pi/2, \pi/2]$$

# Billar de Sinai

$S_i$  Obstáculos  $\Gamma_i = \partial S_i$

$$\bigsqcup \Gamma_i \times [-\pi/2, \pi/2]$$

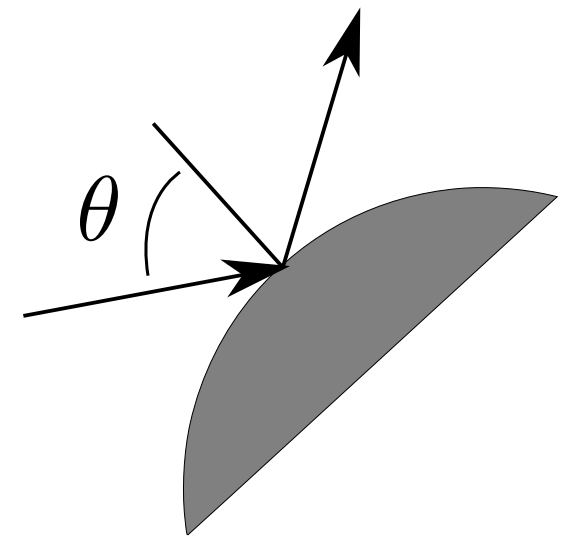
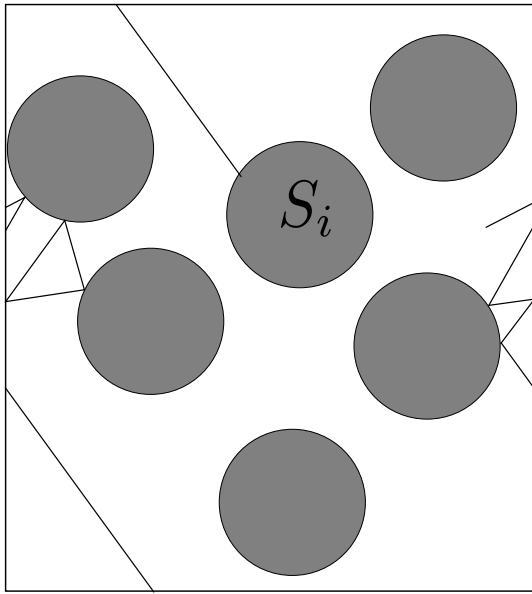




# Billar de Sinai

$S_i$  Obstáculos  $\Gamma_i = \partial S_i$

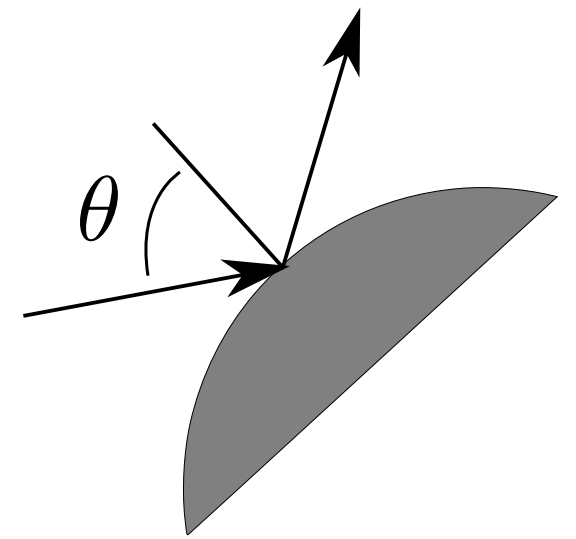
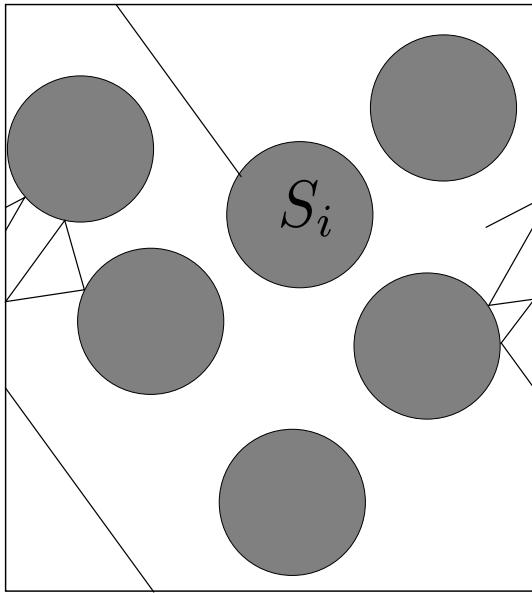
$$\mathcal{D} = \bigsqcup \Gamma_i \times [-\pi/2, \pi/2]$$

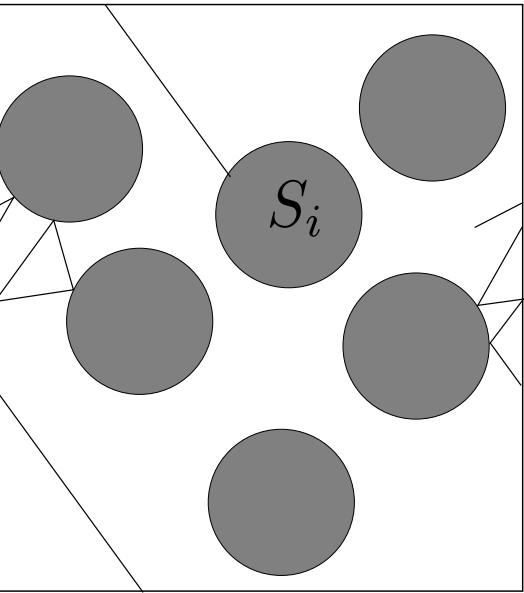


# Billar de Sinai

$S_i$  Obstáculos  $\Gamma_i = \partial S_i$

$$\mathcal{D} = \bigsqcup \Gamma_i \times [-\pi/2, \pi/2] \quad f : \mathcal{D} \rightarrow \mathcal{D}$$





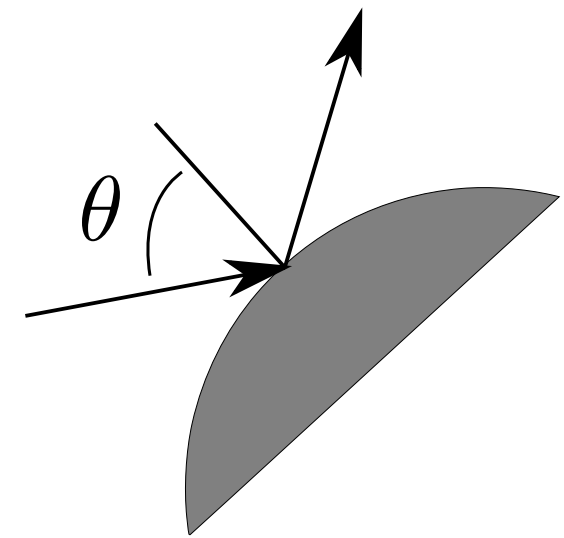
# Billar de Sinai

$S_i$  Obstáculos  $\Gamma_i = \partial S_i$

$$\mathcal{D} = \bigsqcup \Gamma_i \times [-\pi/2, \pi/2]$$

Espacio de colisiones

$$f : \mathcal{D} \rightarrow \mathcal{D}$$

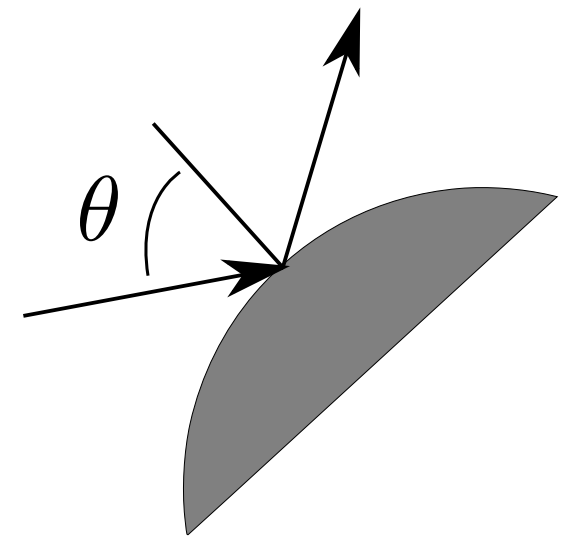
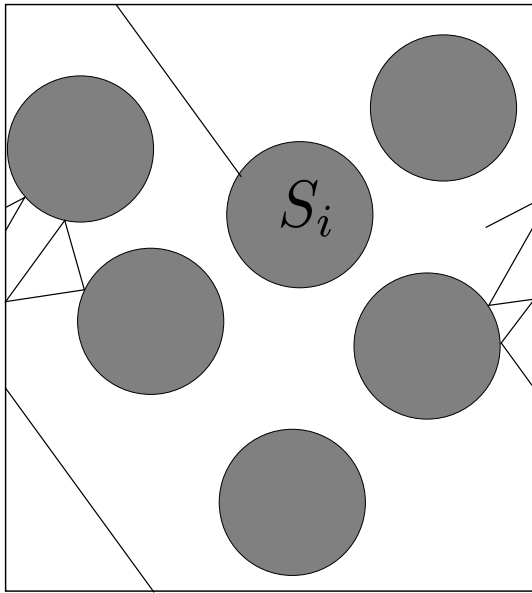


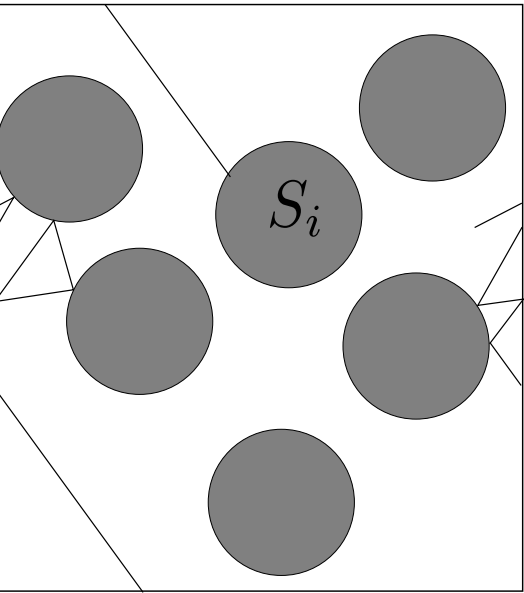
# Billar de Sinai

$S_i$  Obstáculos  $\Gamma_i = \partial S_i$

$\mathcal{D} = \bigsqcup \Gamma_i \times [-\pi/2, \pi/2]$   $f : \mathcal{D} \rightarrow \mathcal{D}$   
Espacio de colisiones

El billard es de **horizonte finito** si el tiempo entre dos colisiones es acotado

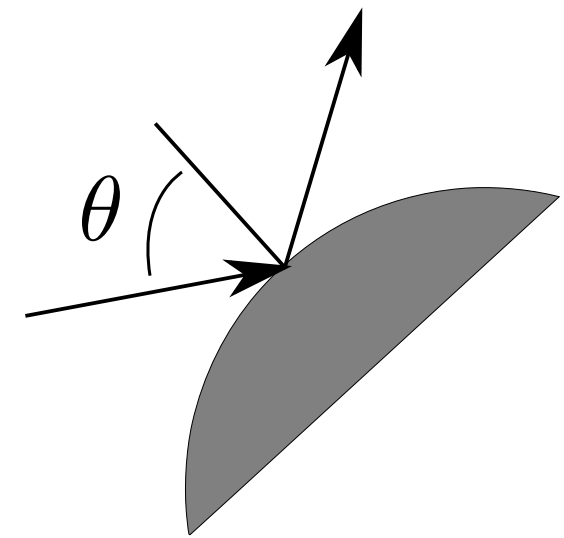




# Billar de Sinai

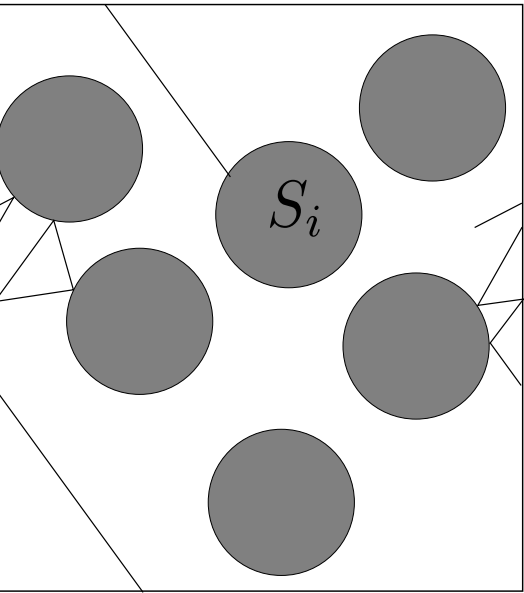
$S_i$  Obstáculos  $\Gamma_i = \partial S_i$

$\mathcal{D} = \bigsqcup \Gamma_i \times [-\pi/2, \pi/2]$   $f : \mathcal{D} \rightarrow \mathcal{D}$   
 Espacio de colisiones



El billard es de **horizonte finito** si el tiempo entre dos colisiones es acotado

## Propiedades del billar de Sinai



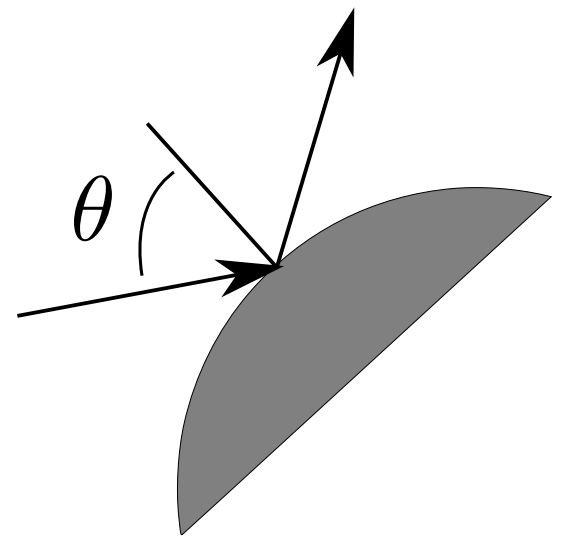
# Billar de Sinai

$S_i$  Obstáculos  $\Gamma_i = \partial S_i$

$$\mathcal{D} = \bigsqcup \Gamma_i \times [-\pi/2, \pi/2]$$

Espacio de colisiones

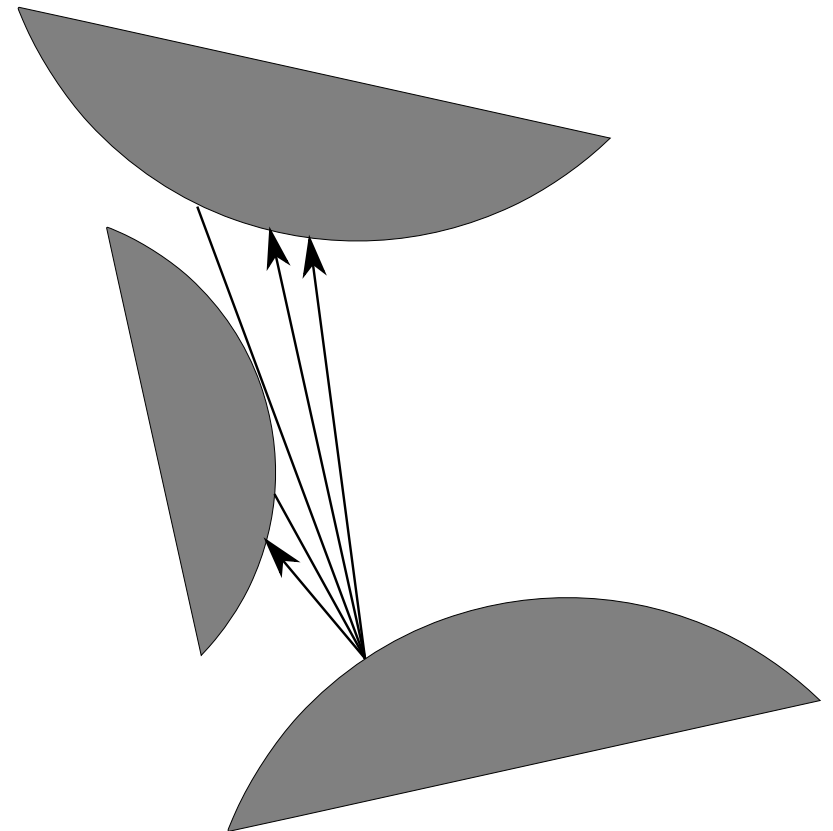
$$f : \mathcal{D} \rightarrow \mathcal{D}$$

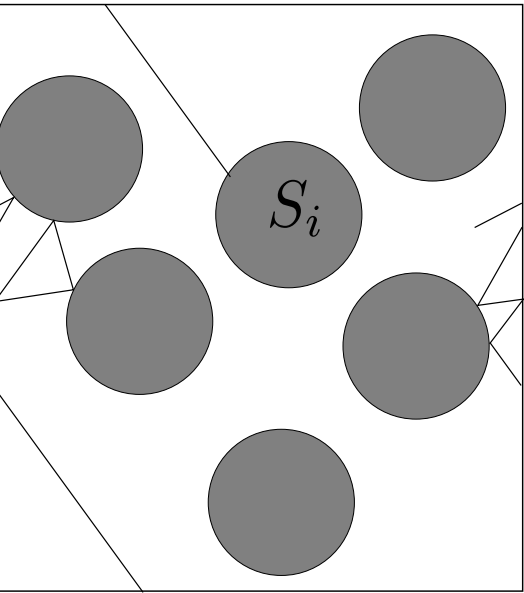


El billar es de **horizonte finito** si el tiempo entre dos colisiones es acotado

## Propiedades del billar de Sinai

$f : \mathcal{D} \rightarrow \mathcal{D}$  no es continuo.





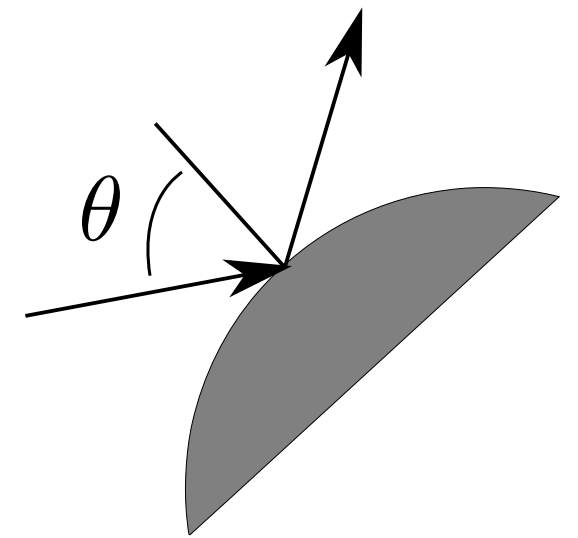
# Billar de Sinai

$S_i$  Obstáculos  $\Gamma_i = \partial S_i$

$$\mathcal{D} = \bigsqcup \Gamma_i \times [-\pi/2, \pi/2]$$

Espacio de colisiones

$$f : \mathcal{D} \rightarrow \mathcal{D}$$

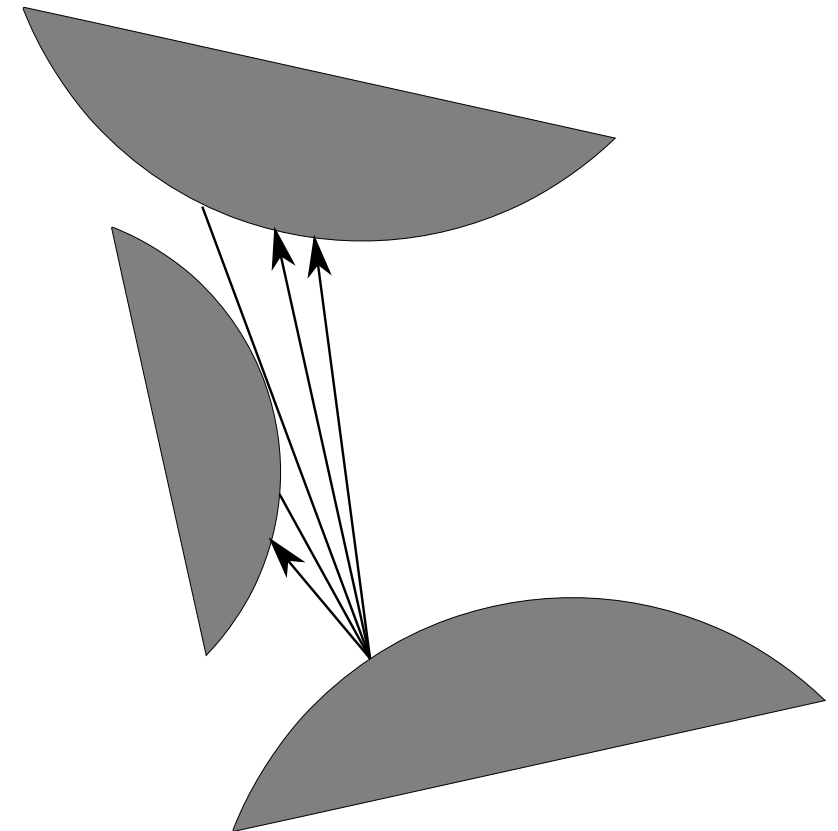


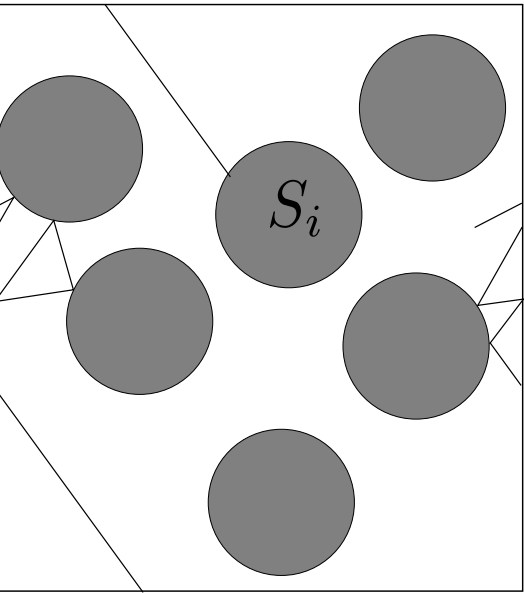
El billard es de **horizonte finito** si el tiempo entre dos colisiones es acotado

## Propiedades del billar de Sinai

$f : \mathcal{D} \rightarrow \mathcal{D}$  no es continuo.

$f$  preserva la medida  $\text{Leb} \times \cos \theta d\theta$





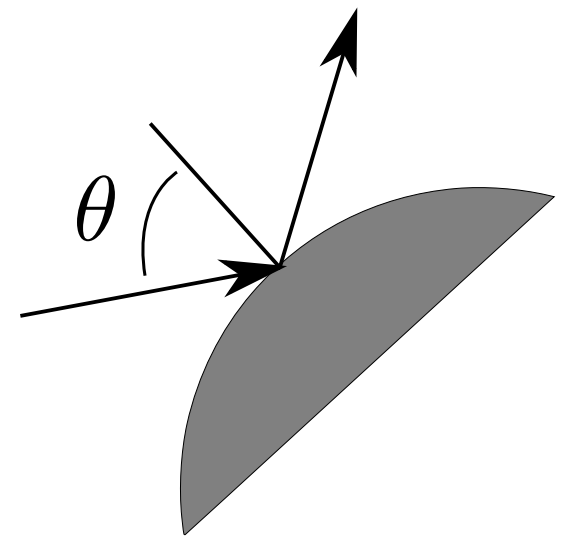
# Billar de Sinai

$S_i$  Obstáculos  $\Gamma_i = \partial S_i$

$$\mathcal{D} = \bigsqcup \Gamma_i \times [-\pi/2, \pi/2]$$

Espacio de colisiones

$$f : \mathcal{D} \rightarrow \mathcal{D}$$



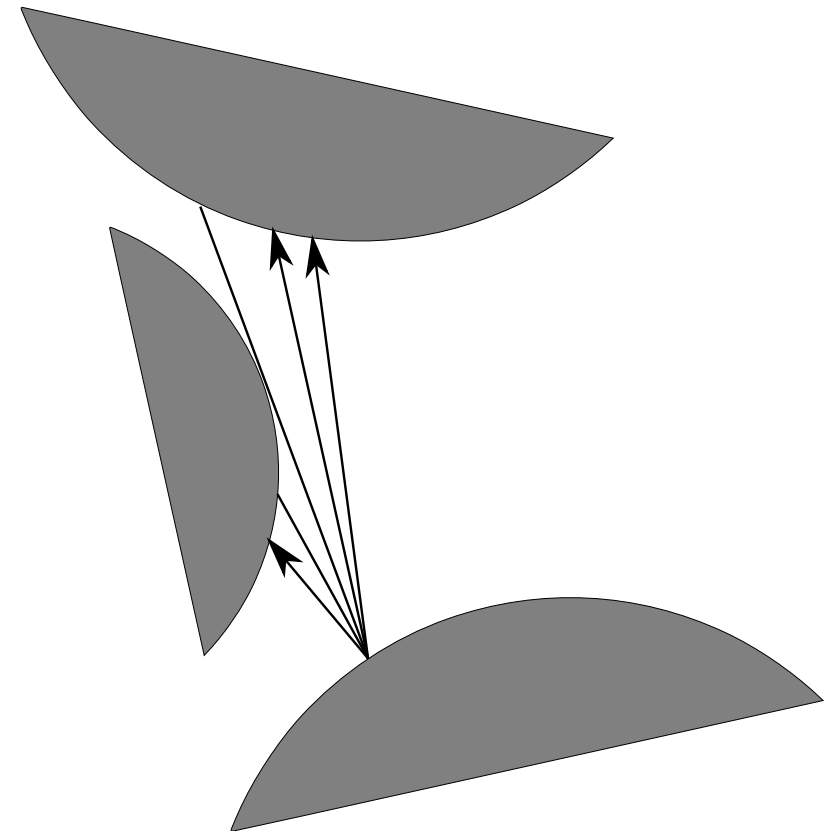
El billard es de **horizonte finito** si el tiempo entre dos colisiones es acotado

## Propiedades del billar de Sinai

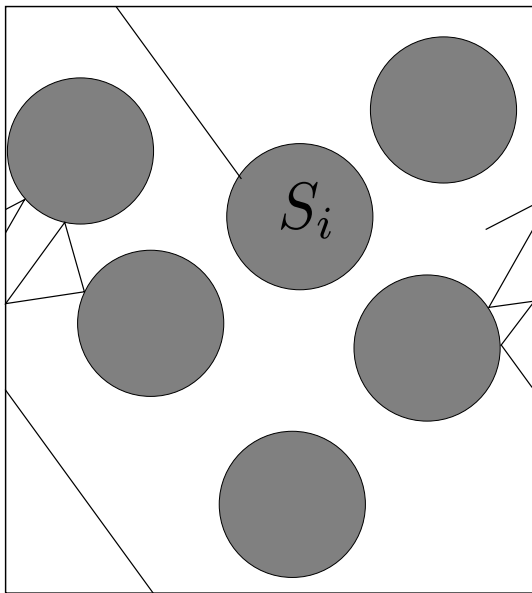
$f : \mathcal{D} \rightarrow \mathcal{D}$  no es continuo.

$f$  preserva la medida  $\text{Leb} \times \cos \theta d\theta$

El conjunto singular es de medida cero







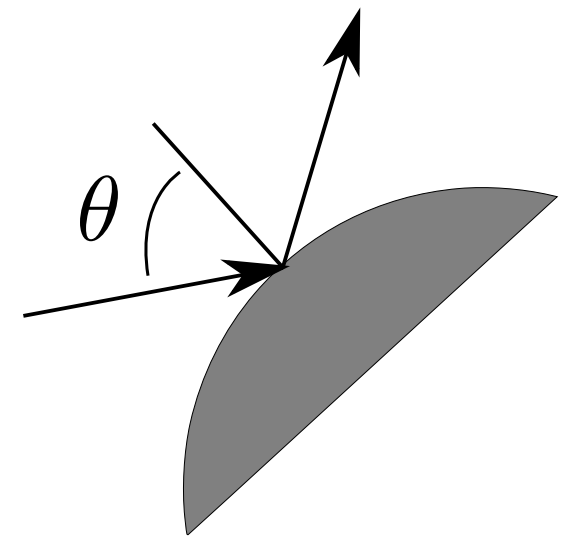
# Billar de Sinai

$S_i$  Obstáculos  $\Gamma_i = \partial S_i$

$$\mathcal{D} = \bigsqcup \Gamma_i \times [-\pi/2, \pi/2]$$

Espacio de colisiones

$$f : \mathcal{D} \rightarrow \mathcal{D}$$



El billard es de **horizonte finito** si el tiempo entre dos colisiones es acotado

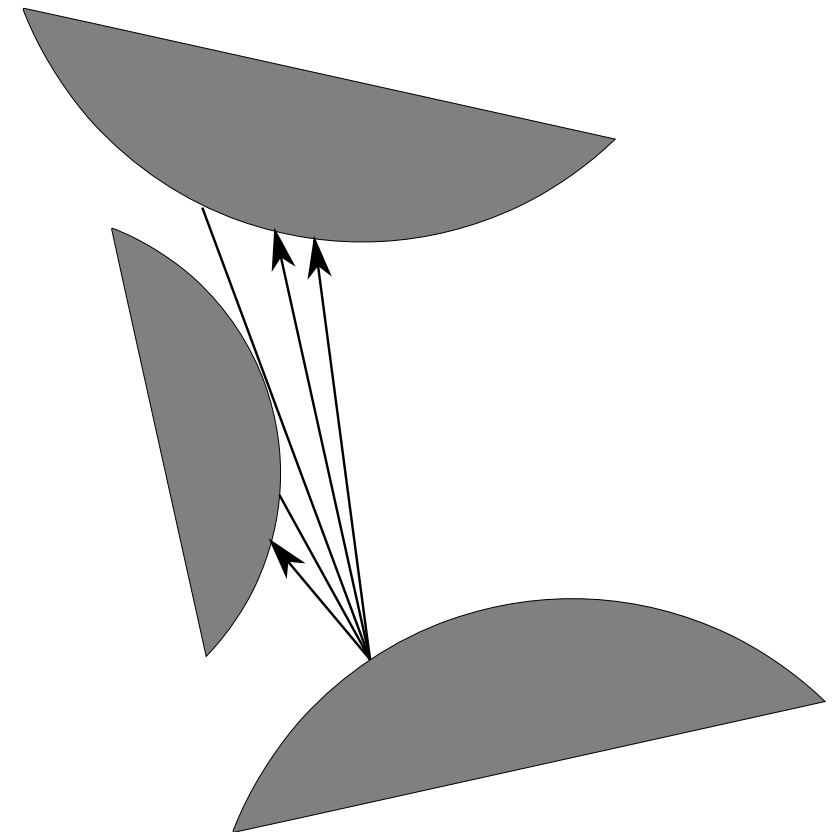
## Propiedades del billar de Sinai

$f : \mathcal{D} \rightarrow \mathcal{D}$  no es continuo.

$f$  preserva la medida  $\text{Leb} \times \cos \theta d\theta$

El conjunto singular es de medida cero

Es uniformemente hiperbólico



# Billar de Sinai

## Propiedades estadísticas

# Billar de Sinai

## Propiedades estadísticas

Ergódico

# Billar de Sinai

## Propiedades estadísticas

Ergódico

Mezclante (Sinai 1970)

# Billar de Sinai

## Propiedades estadísticas

Ergódico

Mezclante (Sinai 1970)

Velocidad exponencial (Young 1998)

# Billar de Sinai

## Propiedades estadísticas

Ergódico

Mezclante (Sinai 1970)

Velocidad exponencial (Young 1998)

$$\left| \int_{\square \Gamma_i} \int_{-\pi/2}^{\pi/2} h_1 \circ f^n \cdot h_2(x, \theta) \cos \theta \, d\theta \, dx - \mu(h_1)\mu(h_2) \right| \leq C \alpha^n \quad \alpha \in (0, 1)$$

# Billar de Sinai

## Propiedades estadísticas

Ergódico

Mezclante (Sinai 1970)

Velocidad exponencial (Young 1998)

$$\left| \int_{\square \Gamma_i} \int_{-\pi/2}^{\pi/2} h_1 \circ f^n \cdot h_2(x, \theta) \cos \theta \, d\theta \, dx - \mu(h_1)\mu(h_2) \right| \leq C \alpha^n \quad \alpha \in (0, 1)$$

Bernoulli

# Billar de Sinai

## Propiedades estadísticas

Ergódico

Mezclante (Sinai 1970)

Velocidad exponencial (Young 1998)

$$\left| \int_{\square \Gamma_i} \int_{-\pi/2}^{\pi/2} h_1 \circ f^n \cdot h_2(x, \theta) \cos \theta \, d\theta \, dx - \mu(h_1)\mu(h_2) \right| \leq C \alpha^n \quad \alpha \in (0, 1)$$

Bernoulli

Teorema de límite central



# Billar de Sinai

## Propiedades estadísticas

Ergódico

Mezclante (Sinai 1970)      Velocidad exponencial (Young 1998)

$$\left| \int_{\square \Gamma_i} \int_{-\pi/2}^{\pi/2} h_1 \circ f^n \cdot h_2(x, \theta) \cos \theta \, d\theta \, dx - \mu(h_1)\mu(h_2) \right| \leq C \alpha^n \quad \alpha \in (0, 1)$$

Bernoulli

Teorema de límite central

Desde el punto de vista macroscópico, el gas de Lorentz se comporta como un camino aleatorio

# Billar de Sinai

## Propiedades estadísticas

Ergódico

Mezclante (Sinai 1970)

Velocidad exponencial (Young 1998)

$$\left| \int_{\square \Gamma_i} \int_{-\pi/2}^{\pi/2} h_1 \circ f^n \cdot h_2(x, \theta) \cos \theta d\theta dx - \mu(h_1)\mu(h_2) \right| \leq C \alpha^n \quad \alpha \in (0, 1)$$

Bernoulli

Teorema de límite central

Desde el punto de vista macroscópico, el gas de Lorentz se comporta como un camino aleatorio

# ¿Qué es un cristal?

## What is a crystal?

### Introductory remarks to an ongoing discussion

What is a crystal? What a strange question, you may think, because there is a nice definition in the *International Tables for Crystallography, Vol. A*. In chapter 8.1 *Basic concepts*, you will find the following:

*“Crystals are finite real objects in physical space which may be idealized by infinite three-dimensional periodic crystal structures in point space. Three-dimensional periodicity means that there are translations among the symmetry operations of the object with the translation vectors spanning a three-dimensional space. Extending this concept of crystal structure to more general periodic objects and to  $n$ -dimensional space, one obtains the following definition:*

*Definition: An object in  $n$ -dimensional point space  $E^n$  is called an  $n$ -dimensional crystallographic pattern or, for short, crystal pattern if among its symmetry operations*

*(i) there are  $n$  translations, the translation vectors  $\mathbf{t}_1, \dots, \mathbf{t}_n$  of which are linearly independent,*

*(ii) all translation vectors, except the zero vector  $\mathbf{o}$ , have a length of at least  $d > 0$ .*

*Condition (i) guarantees the  $n$ -dimensional periodicity and thus excludes subperiodic symmetries like layer groups, rod groups and frieze groups. Condition (ii) takes into account the finite size of atoms in actual crystals”*

This concept allows to describe a *real crystal* by comparing it with the model of an *ideal crystal*. In the following I list some terms used for the description of real crystals or their idealized models:

*Ideal crystal*: infinite mathematical object with an idealized crystal structure; an *ideal crystal* can be *ordered* or *disordered*, if it is *disordered*, it is not *periodic*

¿Qué es un cristal?

# ¿Qué es un cristal?

Un material con estructura cristalina

# ¿Qué es un cristal?

Un material con estructura cristalina

Cristalografía moderna: Difracción de rayos X

# ¿Qué es un cristal?

Un material con estructura cristalina

Cristalografía moderna: Difracción de rayos X

# ¿Qué es un cristal?

Un material con estructura cristalina

Cristalografía moderna: Difracción de rayos X

Teorema de restricción cristalográfica:



# ¿Qué es un cristal?

Un material con estructura cristalina

Cristalografía moderna: Difracción de rayos X

**Teorema de restricción cristalográfica:** Las simetrías rotacionales de un cristal solo pueden tener orden 2, 3, 4 y 6.

# ¿Qué es un cristal?

Un material con estructura cristalina

Cristalografía moderna: Difracción de rayos X

**Teorema de restricción cristalográfica:** Las simetrías rotacionales de un cristal solo pueden tener orden 2, 3, 4 y 6.

(Con estructura periódica)

# ¿Qué es un cristal?

Un material con estructura cristalina

Cristalografía moderna: Difracción de rayos X

**Teorema de restricción cristalográfica:** Las simetrías rotacionales de un cristal solo pueden tener orden 2, 3, 4 y 6.

(Con estructura periódica)

Cualquier simetría se detecta en el patrón de difracción

# ¿Qué es un cristal?

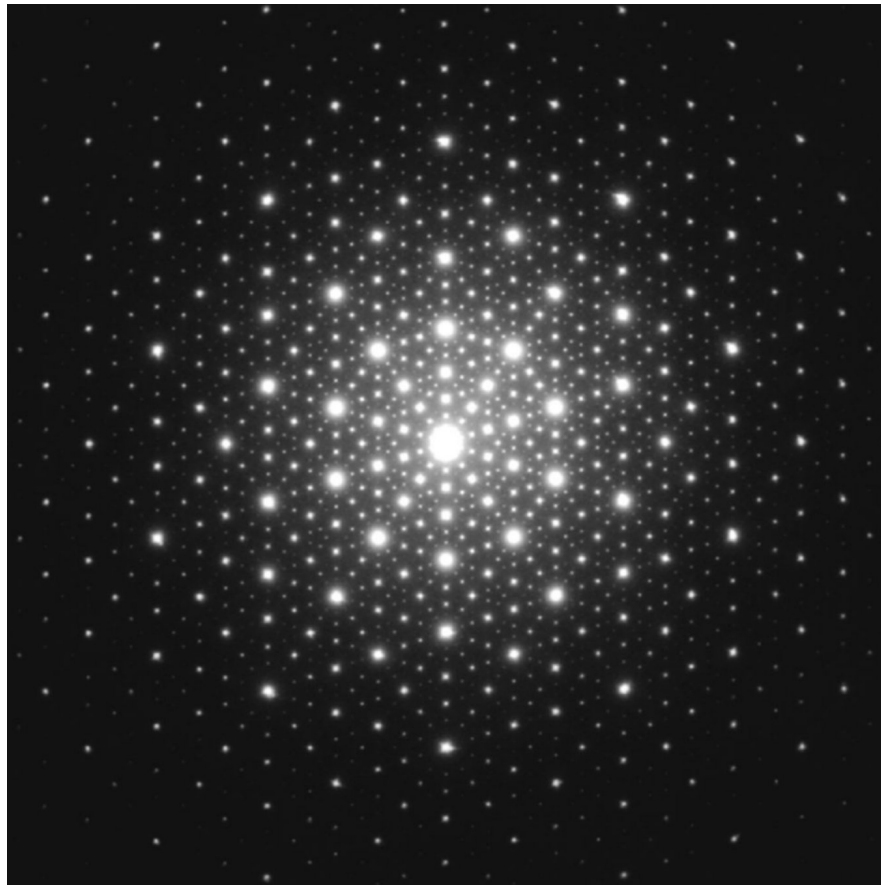
Un material con estructura cristalina

Dan Shechtman (1980)

# ¿Qué es un cristal?

Un material con estructura cristalina

Dan Shechtman (1980)

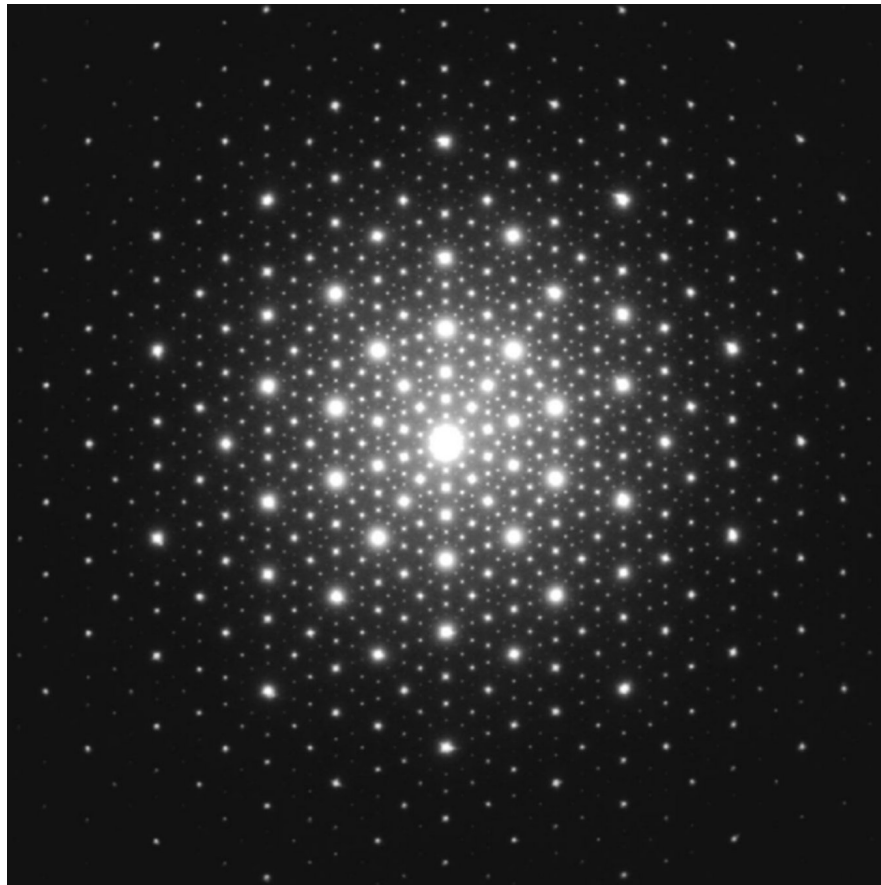


# ¿Qué es un cristal?

Un material con estructura cristalina

Dan Shechtman (1980)

Lo sobresaliente

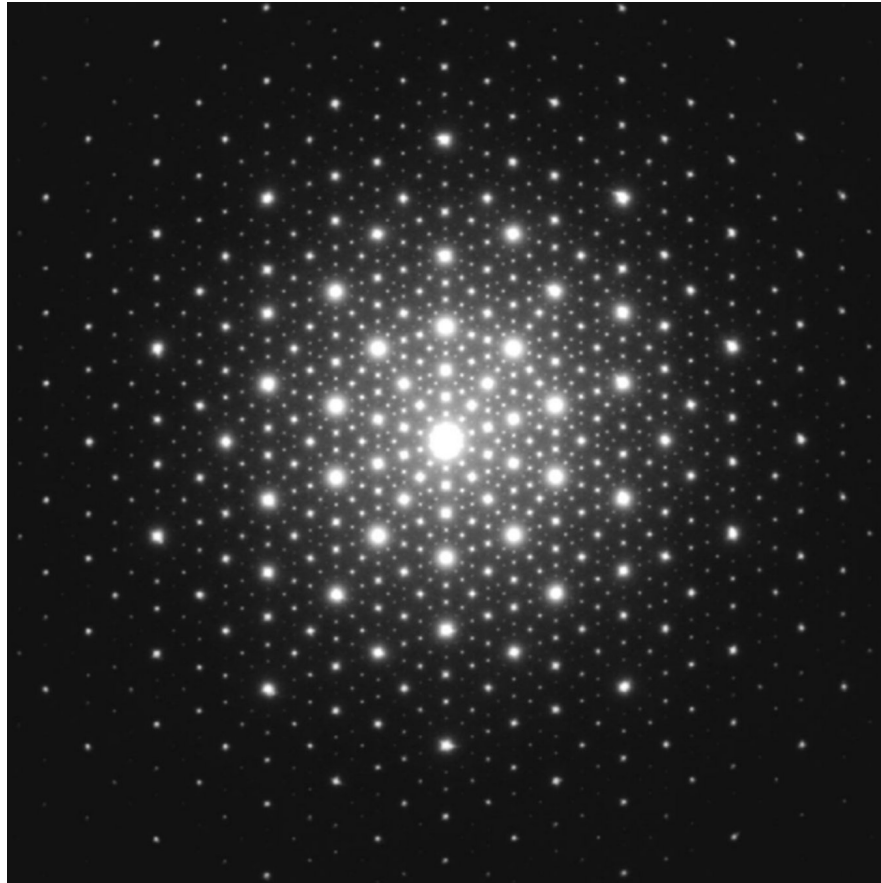


# ¿Qué es un cristal?

Un material con estructura cristalina

Dan Shechtman (1980)

Lo sobresaliente



1) Simetrías de orden 5 a 10  $\Rightarrow$  estructura no periódica

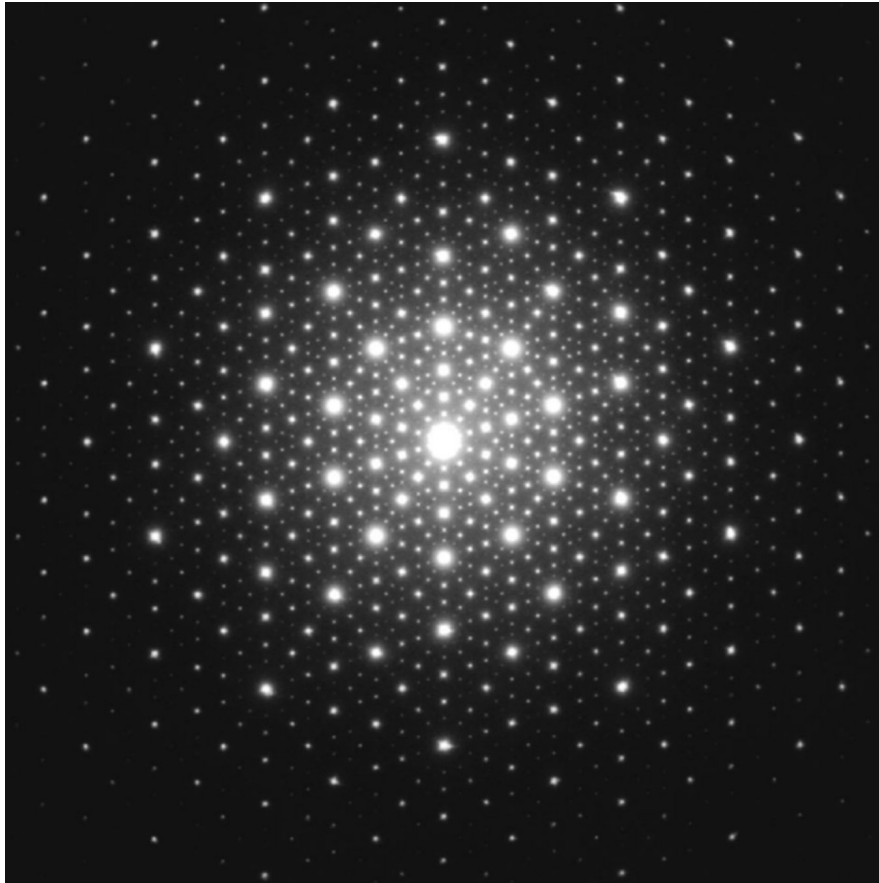
# ¿Qué es un cristal?

Un material con estructura cristalina

Dan Shechtman (1980)

Lo sobresaliente

- 1) Simetrías de orden 5 a 10  $\Rightarrow$  estructura no periódica
- 2) Picos discretos  $\Rightarrow$  estructura ordenada





# ¿Qué es un cristal?

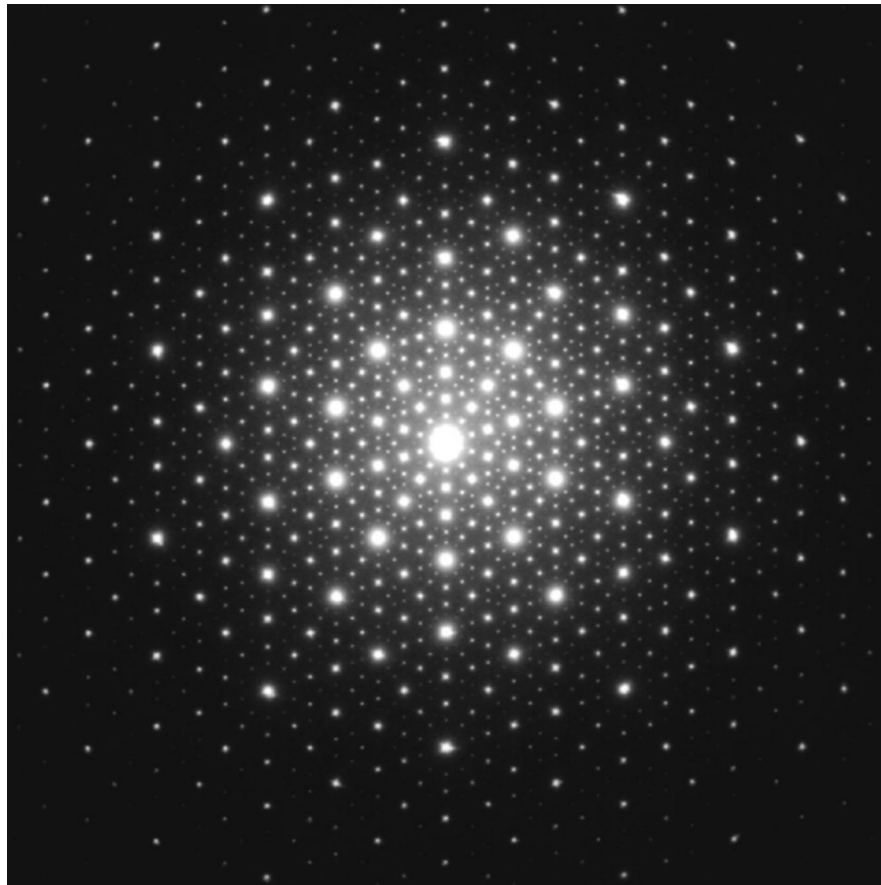
Un material con estructura cristalina

Dan Shechtman (1980)

Lo sobresaliente

- 1) Simetrías de orden 5 a 10  $\Rightarrow$  estructura no periódica
- 2) Picos discretos  $\Rightarrow$  estructura ordenada

Cuasicristal



# ¿Qué es un cristal?

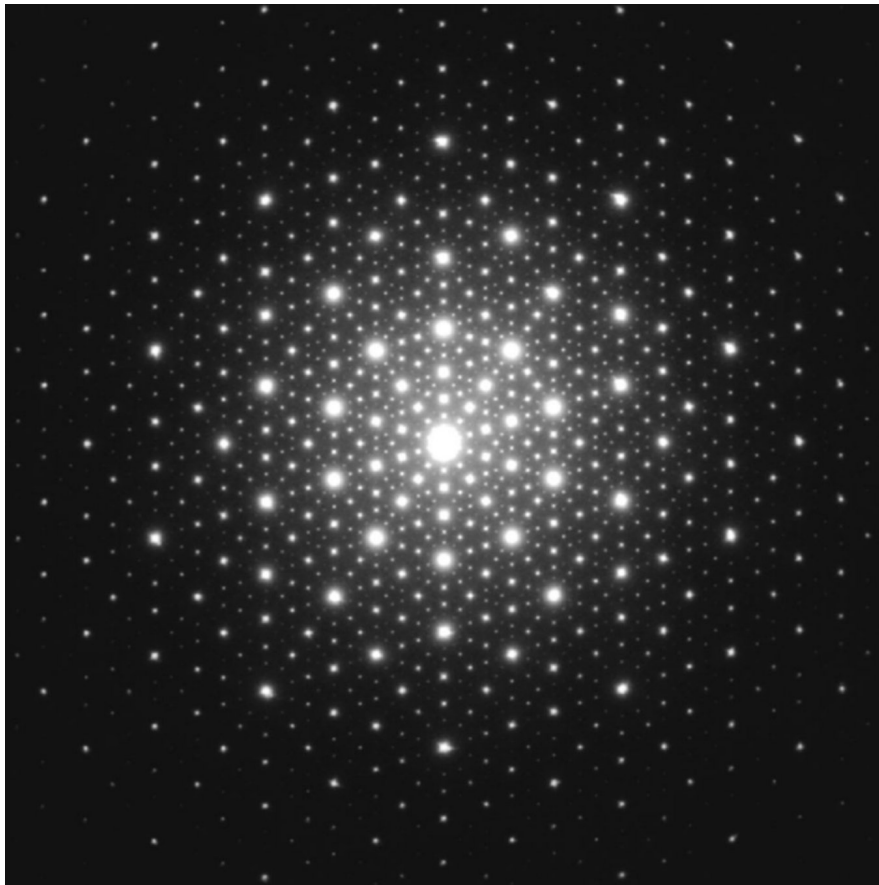
Un material con estructura cristalina

Dan Shechtman (1980)

Lo sobresaliente

- 1) Simetrías de orden 5 a 10  $\Rightarrow$  estructura no periódica
- 2) Picos discretos  $\Rightarrow$  estructura ordenada

## Cuasicristal



Premio Nobel de Química 2011

# ¿Qué es un cristal?

Un material con estructura cristalina

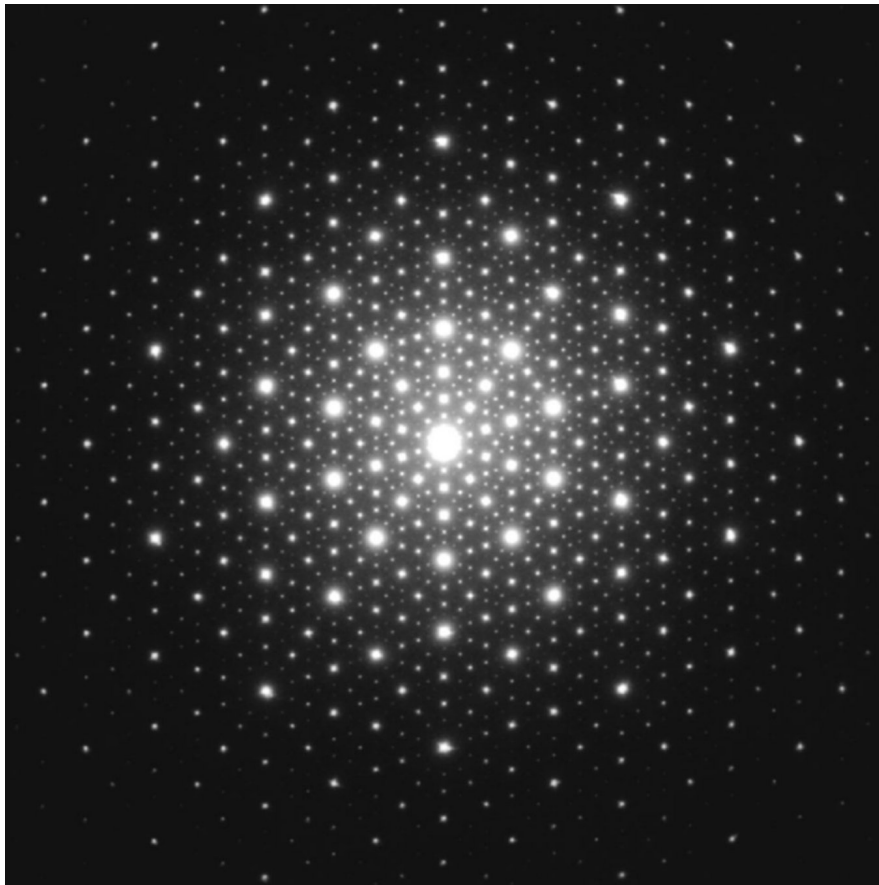
Dan Shechtman (1980)

Lo sobresaliente

1) Simetrías de orden 5 a 10  $\Rightarrow$  estructura no periódica

2) Picos discretos  $\Rightarrow$  estructura ordenada

## Cuasicristal



Premio Nobel de Química 2011

# ¿Qué es un cristal?

Un material con estructura cristalina

Dan Shechtman (1980)

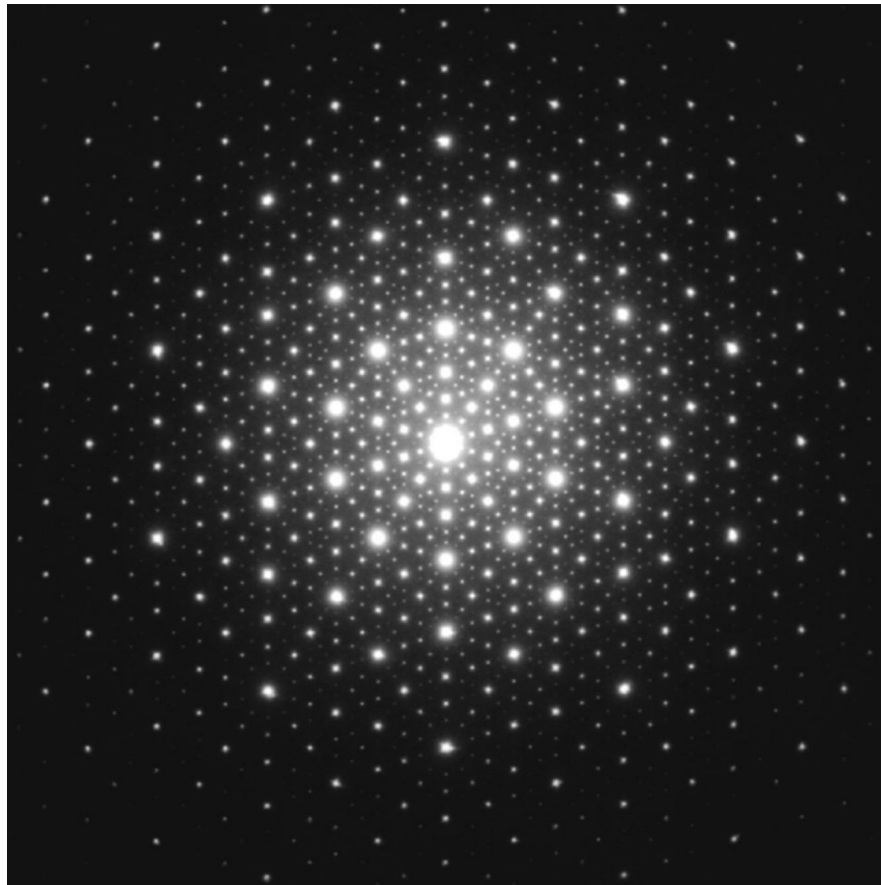
Lo sobresaliente

1) Simetrías de orden 5 a 10  $\Rightarrow$  estructura no periódica

2) Picos discretos  $\Rightarrow$  estructura ordenada

## Cuasicristal

¿Cómo se modelan estos materiales?



Premio Nobel de Química 2011

NEWSLETTERS

Sign up to read our regular email newsletters

## Nobel prizewinning quasicrystal fell from space



SPACE 3 January 2012

By [David Shiga](#)



**It came from outer space**  
(Image: Luca Bindi and Paul Steinhardt)

A Nobel prizewinning crystal has just got alien status. It now seems that the only known sample of a naturally occurring quasicrystal fell from space, changing our understanding of the conditions needed for these curious structures to form.

Quasicrystals are orderly, like conventional crystals, but have a more complex form of symmetry. Patterns echoing this symmetry have been [used in art for centuries](#) but materials with this kind of order on the atomic scale were not discovered until the 1980s.

## Nobel prizewinning quasicrystal fell from space



SPACE 3 January 2012

By [David Shiga](#)



It came from outer space  
(Image: Luca Bindi and Paul Steinhardt)

A Nobel prizewinning crystal has just got alien status. It now seems that the only known sample of a naturally occurring quasicrystal fell from space, changing our understanding of the conditions needed for these curious structures to form.

Quasicrystals are orderly, like conventional crystals, but have a more complex form of symmetry. Patterns echoing this symmetry have been [used in art for centuries](#) but materials with this kind of order on the atomic scale were not discovered until the 1980s.



TELESCOPES AND SPACE MISSIONS | RESEARCH UPDATE

## Further proof of extraterrestrial origin of quasicrystals

13 Aug 2012



Embaldosados

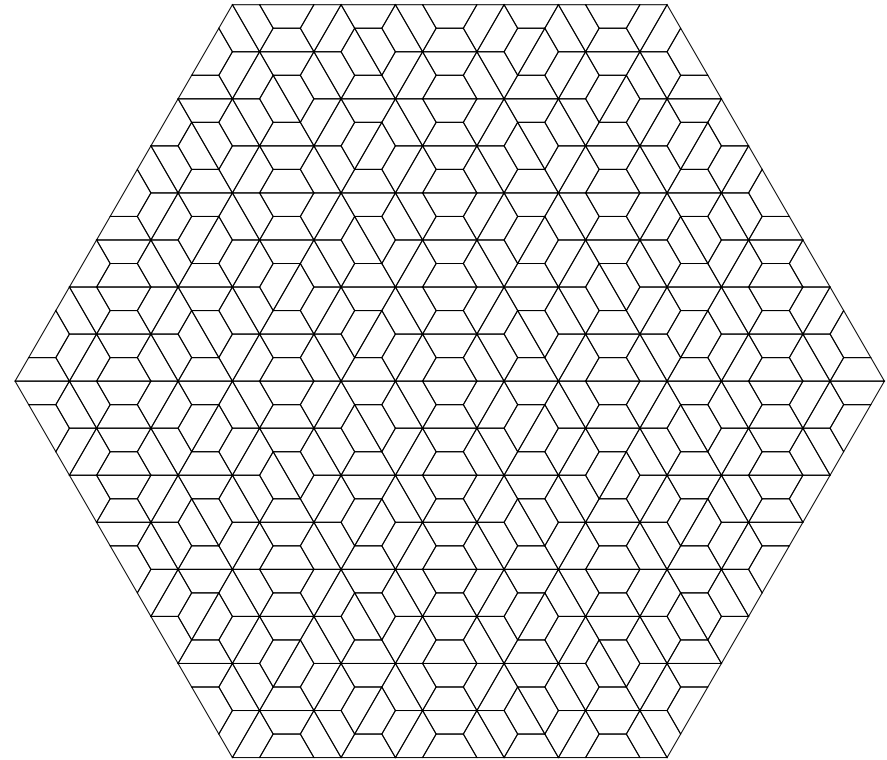
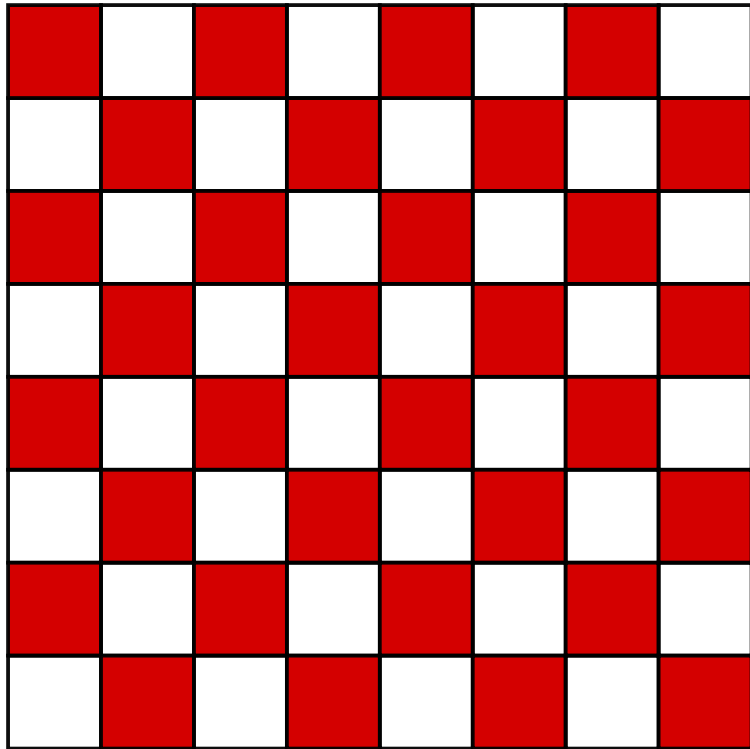
# Embaldosados

Un embaldosado de  $\mathbb{R}^d$  es la unión de baldosas de manera que los interiores de las baldosas son disjuntos dos a dos

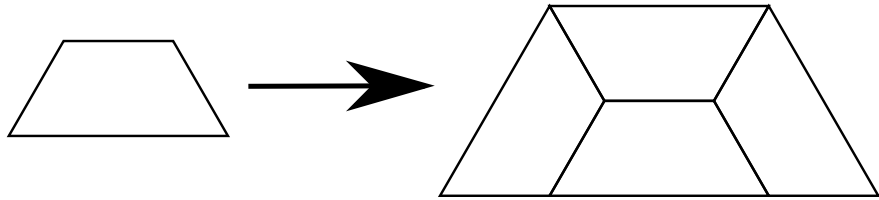


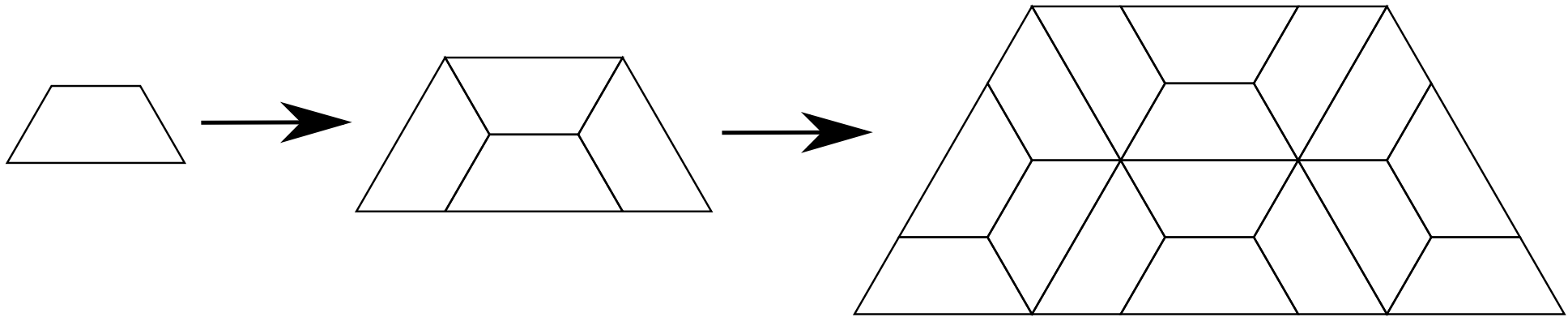
# Embaldosados

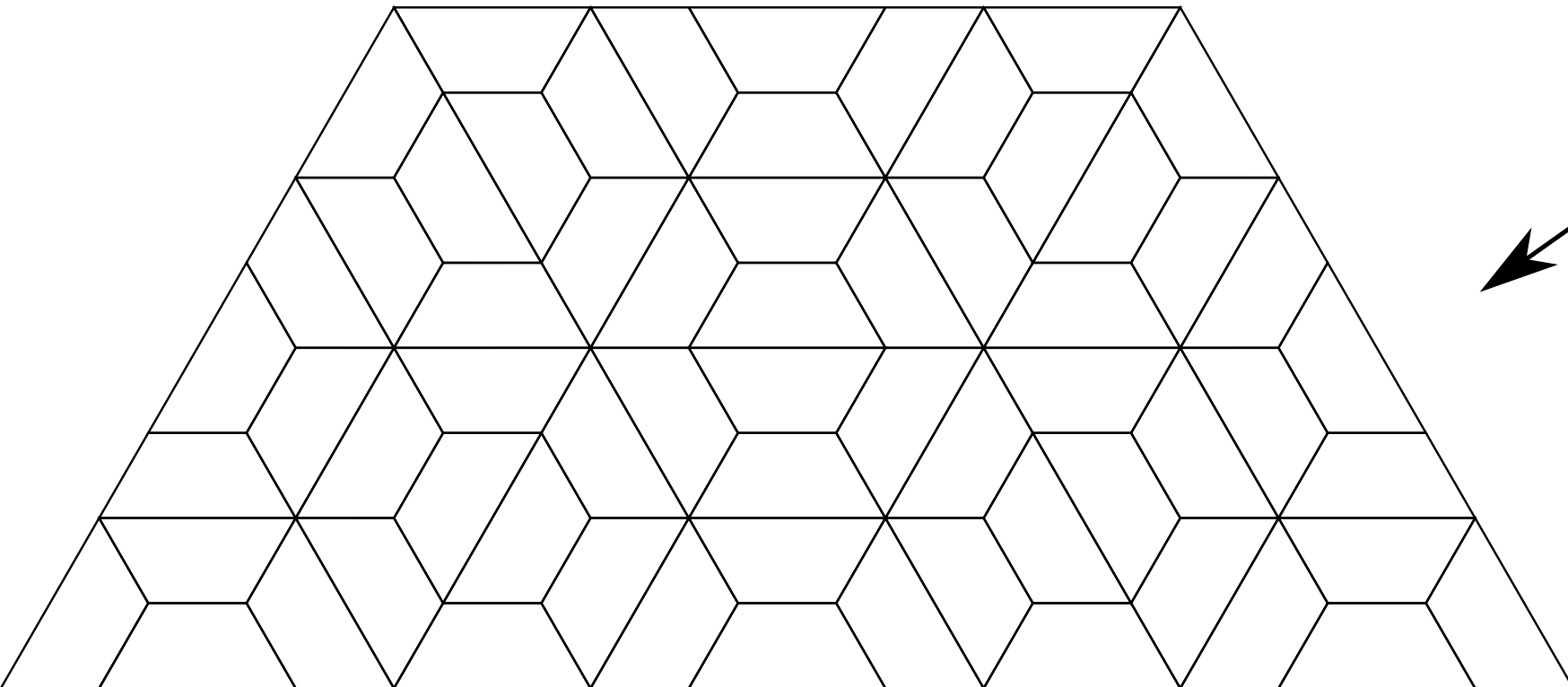
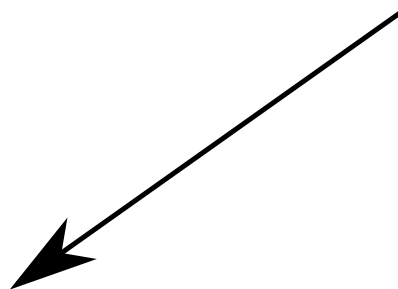
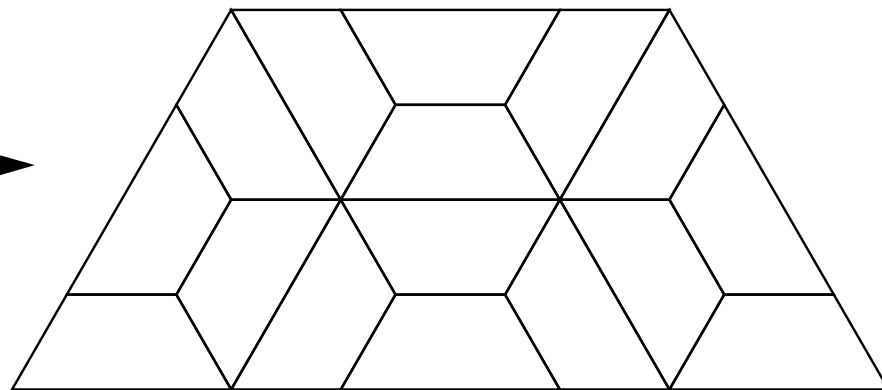
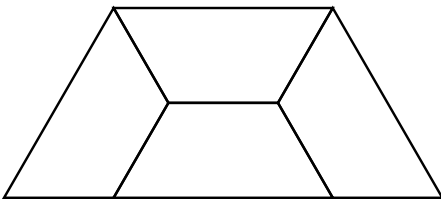
Un embalosado de  $\mathbb{R}^d$  es la unión de baldosas de manera que los interiores de las baldosas son disjuntos dos a dos  
compacto simplemente conexo





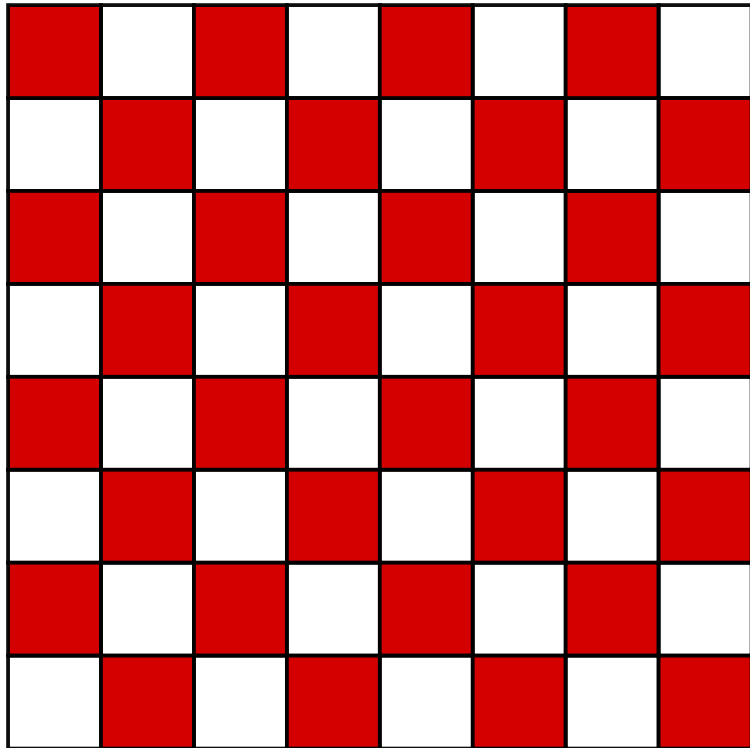




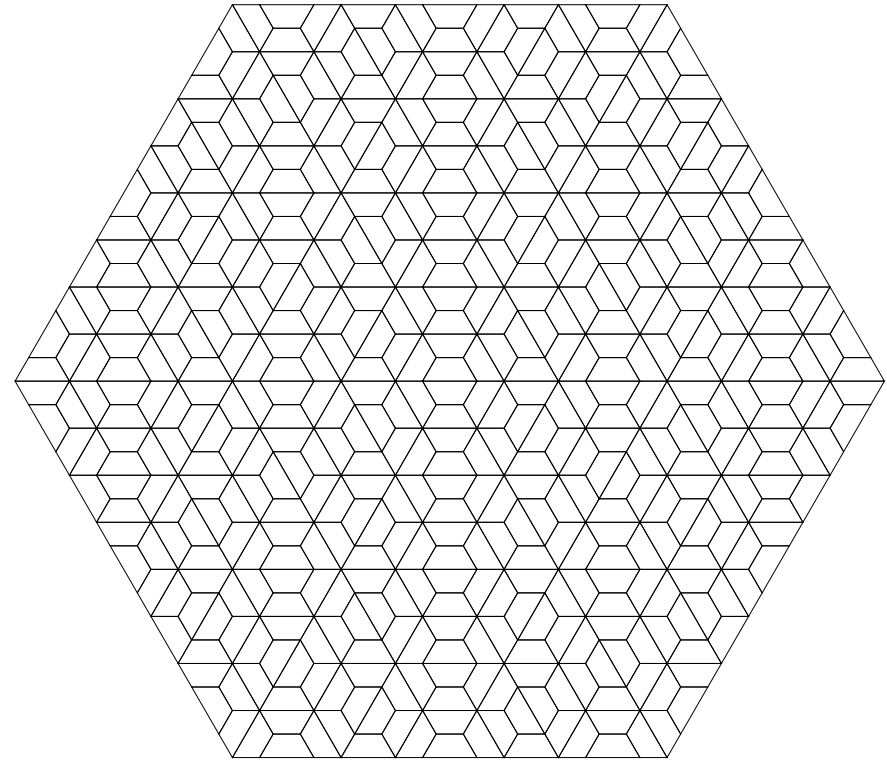


# Embaldosados

Un embalosado de  $\mathbb{R}^d$  es la unión de baldosas de manera que los interiores de las baldosas son disjuntos dos a dos  
compacto simplemente conexo



Periódico



Aperiódico

# Embaldosados

Si  $\mathcal{E}$  es un embaldosado y  $v \in \mathbb{R}^d$   $\varphi_v(\mathcal{E}) = \mathcal{E} - v$  es el traslado

# Embaldosados

Si  $\mathcal{E}$  es un embaldosado y  $v \in \mathbb{R}^d$   $\varphi_v(\mathcal{E}) = \mathcal{E} - v$  es el traslado

Existe una métrica en el conjunto de todos los traslados de  $\mathcal{E}$



# Embaldosados

Si  $\mathcal{E}$  es un embaldosado y  $v \in \mathbb{R}^d$   $\varphi_v(\mathcal{E}) = \mathcal{E} - v$  es el traslado

Existe una métrica en el conjunto de todos los traslados de  $\mathcal{E}$

$d(\mathcal{E}, \varphi_v(\mathcal{E}))$  es pequeño si coinciden en una gran bola en torno al origen

# Embaldosados

Si  $\mathcal{E}$  es un embaldosado y  $v \in \mathbb{R}^d$   $\varphi_v(\mathcal{E}) = \mathcal{E} - v$  es el traslado

Existe una métrica en el conjunto de todos los traslados de  $\mathcal{E}$

$d(\mathcal{E}, \varphi_v(\mathcal{E}))$  es pequeño si coinciden en una gran bola en torno al origen  
 $\neq \|v\|$

# Embaldosados

Si  $\mathcal{E}$  es un embaldosado y  $v \in \mathbb{R}^d$   $\varphi_v(\mathcal{E}) = \mathcal{E} - v$  es el traslado

Existe una métrica en el conjunto de todos los traslados de  $\mathcal{E}$

$d(\mathcal{E}, \varphi_v(\mathcal{E}))$  es pequeño si coinciden en una gran bola en torno al origen

$\neq \|v\|$

Si  $\mathcal{E}$  es repetitivo, aperiódico y tiene complejidad local finita:

# Embaldosados

Si  $\mathcal{E}$  es un embaldosado y  $v \in \mathbb{R}^d$   $\varphi_v(\mathcal{E}) = \mathcal{E} - v$  es el traslado

Existe una métrica en el conjunto de todos los traslados de  $\mathcal{E}$

$d(\mathcal{E}, \varphi_v(\mathcal{E}))$  es pequeño si coinciden en una gran bola en torno al origen

$\neq \|v\|$

Si  $\mathcal{E}$  es repetitivo, aperiódico y tiene complejidad local finita:

$$\Omega_{\mathcal{E}} = \overline{\{\varphi_v(\mathcal{E}) : v \in \mathbb{R}^d\}}$$

# Embaldosados

Si  $\mathcal{E}$  es un embaldosado y  $v \in \mathbb{R}^d$   $\varphi_v(\mathcal{E}) = \mathcal{E} - v$  es el traslado

Existe una métrica en el conjunto de todos los traslados de  $\mathcal{E}$

$d(\mathcal{E}, \varphi_v(\mathcal{E}))$  es pequeño si coinciden en una gran bola en torno al origen

$\neq \|v\|$

Si  $\mathcal{E}$  es repetitivo, aperiódico y tiene complejidad local finita:

$$\Omega_{\mathcal{E}} = \overline{\{\varphi_v(\mathcal{E}) : v \in \mathbb{R}^d\}}$$

← Completamos

# Embaldosados

Si  $\mathcal{E}$  es un embaldosado y  $v \in \mathbb{R}^d$   $\varphi_v(\mathcal{E}) = \mathcal{E} - v$  es el traslado

Existe una métrica en el conjunto de todos los traslados de  $\mathcal{E}$

$d(\mathcal{E}, \varphi_v(\mathcal{E}))$  es pequeño si coinciden en una gran bola en torno al origen

$\neq \|v\|$

Si  $\mathcal{E}$  es repetitivo, aperiódico y tiene complejidad local finita:

$$\Omega_{\mathcal{E}} = \overline{\{\varphi_v(\mathcal{E}) : v \in \mathbb{R}^d\}}$$

Espacio de embaldosados

← Completamos

# Embaldosados

Si  $\mathcal{E}$  es un embaldosado y  $v \in \mathbb{R}^d$   $\varphi_v(\mathcal{E}) = \mathcal{E} - v$  es el traslado

Existe una métrica en el conjunto de todos los traslados de  $\mathcal{E}$

$d(\mathcal{E}, \varphi_v(\mathcal{E}))$  es pequeño si coinciden en una gran bola en torno al origen

$\neq \|v\|$

Si  $\mathcal{E}$  es repetitivo, aperiódico y tiene complejidad local finita:

$$\Omega_{\mathcal{E}} = \overline{\{\varphi_v(\mathcal{E}) : v \in \mathbb{R}^d\}}$$

Espacio de embaldosados  
(Envoltura continua de  $\mathcal{E}$ )

← Completamos

# Embaldosados

Si  $\mathcal{E}$  es un embaldosado y  $v \in \mathbb{R}^d$   $\varphi_v(\mathcal{E}) = \mathcal{E} - v$  es el traslado

Existe una métrica en el conjunto de todos los traslados de  $\mathcal{E}$

$d(\mathcal{E}, \varphi_v(\mathcal{E}))$  es pequeño si coinciden en una gran bola en torno al origen

$\neq \|v\|$

Si  $\mathcal{E}$  es repetitivo, aperiódico y tiene complejidad local finita:

$$\Omega_{\mathcal{E}} = \overline{\{\varphi_v(\mathcal{E}) : v \in \mathbb{R}^d\}}$$

Espacio de embaldosados  
(Envoltura continua de  $\mathcal{E}$ )

Completamos

**No es una variedad**



# Embaldosados

Si  $\mathcal{E}$  es un embaldosado y  $v \in \mathbb{R}^d$   $\varphi_v(\mathcal{E}) = \mathcal{E} - v$  es el traslado

Existe una métrica en el conjunto de todos los traslados de  $\mathcal{E}$

$d(\mathcal{E}, \varphi_v(\mathcal{E}))$  es pequeño si coinciden en una gran bola en torno al origen

$\neq \|v\|$

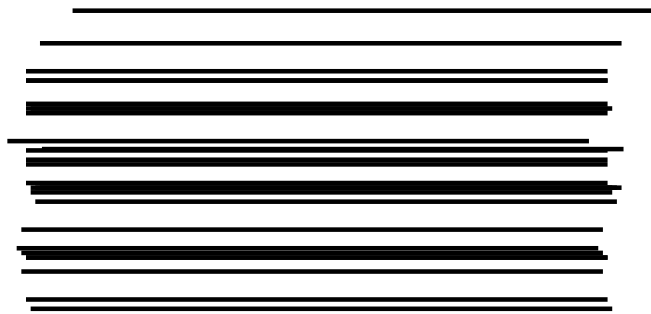
Si  $\mathcal{E}$  es repetitivo, aperiódico y tiene complejidad local finita:

$$\Omega_{\mathcal{E}} = \overline{\{\varphi_v(\mathcal{E}) : v \in \mathbb{R}^d\}}$$

Espacio de embaldosados  
(Envoltura continua de  $\mathcal{E}$ )

← Completamos

Cantor



$B_{\varepsilon}(0)$

**No es una variedad**

Estructura local  $B_{\varepsilon}(0) \times \text{Cantor}$

# Embaldosados

Si  $\mathcal{E}$  es un embaldosado y  $v \in \mathbb{R}^d$   $\varphi_v(\mathcal{E}) = \mathcal{E} - v$  es el traslado

Existe una métrica en el conjunto de todos los traslados de  $\mathcal{E}$

$d(\mathcal{E}, \varphi_v(\mathcal{E}))$  es pequeño si coinciden en una gran bola en torno al origen

$$\neq \|v\|$$

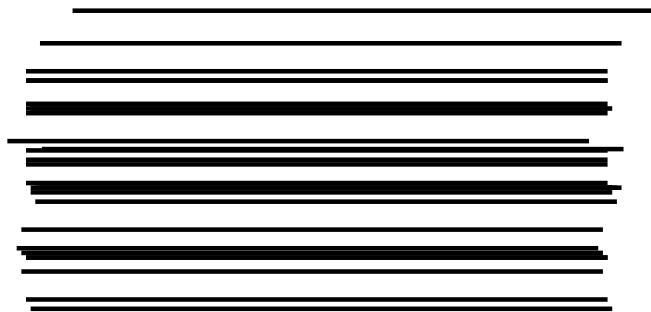
Si  $\mathcal{E}$  es repetitivo, aperiódico y tiene complejidad local finita:

$$\Omega_{\mathcal{E}} = \overline{\{\varphi_v(\mathcal{E}) : v \in \mathbb{R}^d\}}$$

Espacio de embaldosados  
(Envoltura continua de  $\mathcal{E}$ )

← Completamos

Cantor



$B_{\varepsilon}(0)$

**No es una variedad**

Estructura local  $B_{\varepsilon}(0) \times \text{Cantor}$

Si  $\mathcal{E}' \in \Omega_{\mathcal{E}}$ , entonces  $\Omega_{\mathcal{E}'} = \Omega_{\mathcal{E}}$

# Embaldosados

$\mathbb{R}^d \curvearrowright \Omega_{\mathcal{E}}$  acción de  $\mathbb{R}^d$

# Embaldosados

$\mathbb{R}^d \curvearrowright \Omega_{\mathcal{E}}$  acción de  $\mathbb{R}^d$  sistema dinámico minimal, unicamente ergódico

# Embaldosados

$\mathbb{R}^d \curvearrowright \Omega_{\mathcal{E}}$  acción de  $\mathbb{R}^d$  sistema dinámico minimal, unicamente ergódico Localmente  $\mu = \text{Leb} \times \text{freq}$

# Embaldosados

$\mathbb{R}^d \curvearrowright \Omega_{\mathcal{E}}$  acción de  $\mathbb{R}^d$  sistema dinámico minimal, unicamente ergódico Localmente  $\mu = \text{Leb} \times \text{freq}$

Si  $h : \mathbb{R}^d \rightarrow \mathbb{R}$  es una función que depende solo en patrones locales,

# Embaldosados

$\mathbb{R}^d \curvearrowright \Omega_{\mathcal{E}}$  acción de  $\mathbb{R}^d$  sistema dinámico minimal, unicamente ergódico Localmente  $\mu = \text{Leb} \times \text{freq}$

Si  $h : \mathbb{R}^d \rightarrow \mathbb{R}$  es una función que depende solo en patrones locales, existe una función  $f : \Omega_{\mathcal{E}} \rightarrow \mathbb{R}$  t.q.

# Embaldosados

$\mathbb{R}^d \curvearrowright \Omega_{\mathcal{E}}$  acción de  $\mathbb{R}^d$  sistema dinámico minimal, unicamente ergódico Localmente  $\mu = \text{Leb} \times \text{freq}$

Si  $h : \mathbb{R}^d \rightarrow \mathbb{R}$  es una función que depende solo en patrones locales, existe una función  $f : \Omega_{\mathcal{E}} \rightarrow \mathbb{R}$  t.q.

$$\frac{1}{\text{Vol}(B_T(0))} \int_{B_T(0)} h(t) dt$$



# Embaldosados

$\mathbb{R}^d \curvearrowright \Omega_{\mathcal{E}}$  acción de  $\mathbb{R}^d$  sistema dinámico minimal, unicamente ergódico Localmente  $\mu = \text{Leb} \times \text{freq}$

Si  $h : \mathbb{R}^d \rightarrow \mathbb{R}$  es una función que depende solo en patrones locales, existe una función  $f : \Omega_{\mathcal{E}} \rightarrow \mathbb{R}$  t.q.

$$\frac{1}{\text{Vol}(B_T(0))} \int_{B_T(0)} h(t) dt = \frac{1}{\text{Vol}(B_T(0))} \int_{B_T(0)} f \circ \varphi_t(\mathcal{E}) dt$$

# Embaldosados

$\mathbb{R}^d \curvearrowright \Omega_{\mathcal{E}}$  acción de  $\mathbb{R}^d$  sistema dinámico minimal, unicamente ergódico Localmente  $\mu = \text{Leb} \times \text{freq}$

Si  $h : \mathbb{R}^d \rightarrow \mathbb{R}$  es una función que depende solo en patrones locales, existe una función  $f : \Omega_{\mathcal{E}} \rightarrow \mathbb{R}$  t.q.

$$\frac{1}{\text{Vol}(B_T(0))} \int_{B_T(0)} h(t) dt = \frac{1}{\text{Vol}(B_T(0))} \int_{B_T(0)} f \circ \varphi_t(\mathcal{E}) dt \longrightarrow \mu(f)$$

# Embaldosados

$\mathbb{R}^d \curvearrowright \Omega_{\mathcal{E}}$  acción de  $\mathbb{R}^d$  sistema dinámico minimal, unicamente ergódico Localmente  $\mu = \text{Leb} \times \text{freq}$

Si  $h : \mathbb{R}^d \rightarrow \mathbb{R}$  es una función que depende solo en patrones locales, existe una función  $f : \Omega_{\mathcal{E}} \rightarrow \mathbb{R}$  t.q.

$$\frac{1}{\text{Vol}(B_T(0))} \int_{B_T(0)} h(t) dt = \frac{1}{\text{Vol}(B_T(0))} \int_{B_T(0)} f \circ \varphi_t(\mathcal{E}) dt \longrightarrow \mu(f)$$

**¿Y qué ?**

# Embaldosados

$\mathbb{R}^d \curvearrowright \Omega_{\mathcal{E}}$  acción de  $\mathbb{R}^d$  sistema dinámico minimal, unicamente ergódico Localmente  $\mu = \text{Leb} \times \text{freq}$

Si  $h : \mathbb{R}^d \rightarrow \mathbb{R}$  es una función que depende solo en patrones locales, existe una función  $f : \Omega_{\mathcal{E}} \rightarrow \mathbb{R}$  t.q.

$$\frac{1}{\text{Vol}(B_T(0))} \int_{B_T(0)} h(t) dt = \frac{1}{\text{Vol}(B_T(0))} \int_{B_T(0)} f \circ \varphi_t(\mathcal{E}) dt \longrightarrow \mu(f)$$

## ¿Y qué ?

El patrón de difracción de un cuasicristal modelado por  $\mathcal{E}$  se obtiene aplicando el teorema de Birkhoff (Dworkin)

# Embaldosados

$\mathbb{R}^d \curvearrowright \Omega_{\mathcal{E}}$  acción de  $\mathbb{R}^d$  sistema dinámico minimal, unicamente ergódico Localmente  $\mu = \text{Leb} \times \text{freq}$

Si  $h : \mathbb{R}^d \rightarrow \mathbb{R}$  es una función que depende solo en patrones locales, existe una función  $f : \Omega_{\mathcal{E}} \rightarrow \mathbb{R}$  t.q.

$$\frac{1}{\text{Vol}(B_T(0))} \int_{B_T(0)} h(t) dt = \frac{1}{\text{Vol}(B_T(0))} \int_{B_T(0)} f \circ \varphi_t(\mathcal{E}) dt \longrightarrow \mu(f)$$

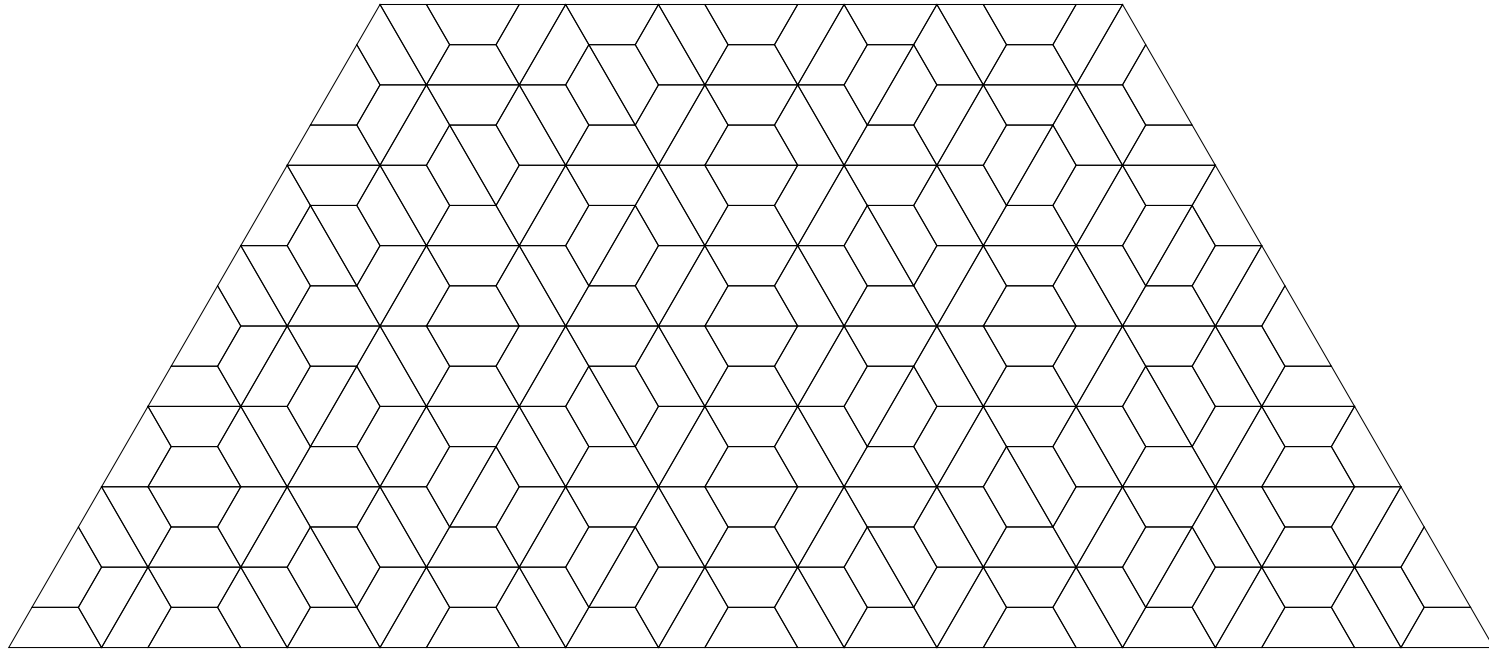
## ¿Y qué ?

El patrón de difracción de un cuasicristal modelado por  $\mathcal{E}$  se obtiene aplicando el teorema de Birkhoff (Dworkin)

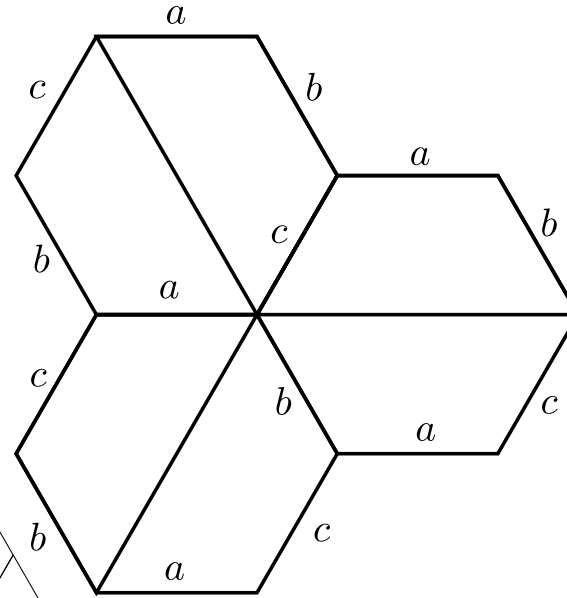
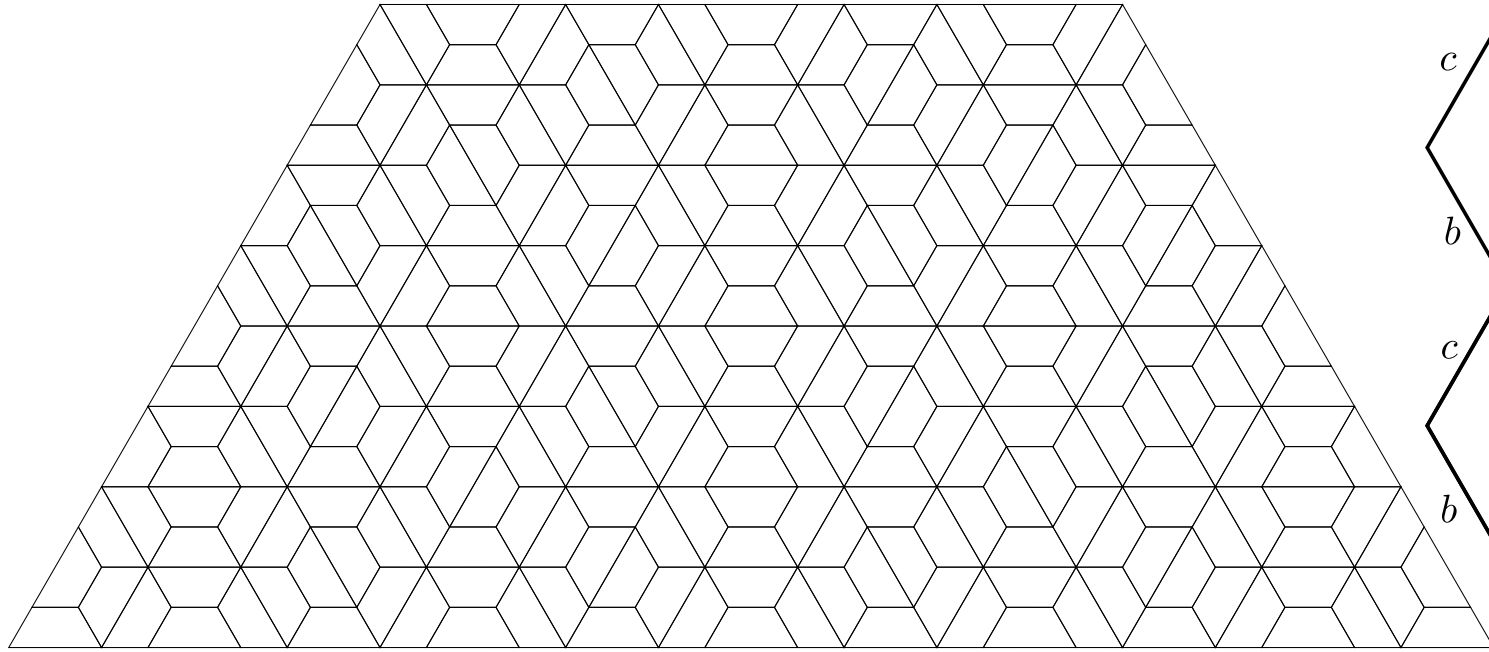
Otras aplicaciones a ciertos problemas de la mecánica cuántica en cuasicristales (Bellissard)

# El gas de Lorentz en cuasicristales

# El gas de Lorentz en cuasicristales

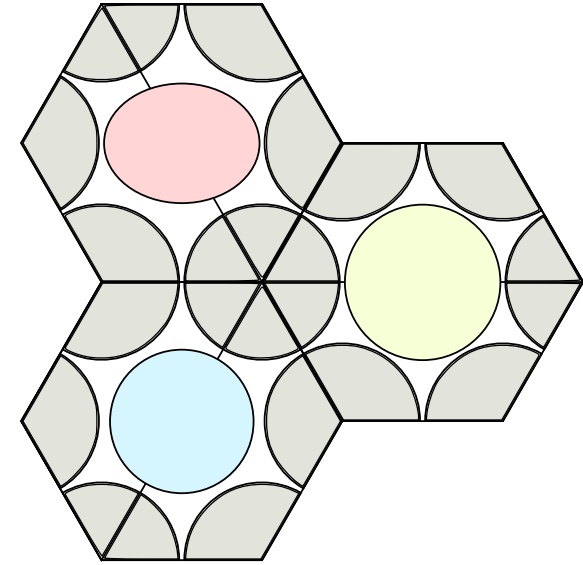
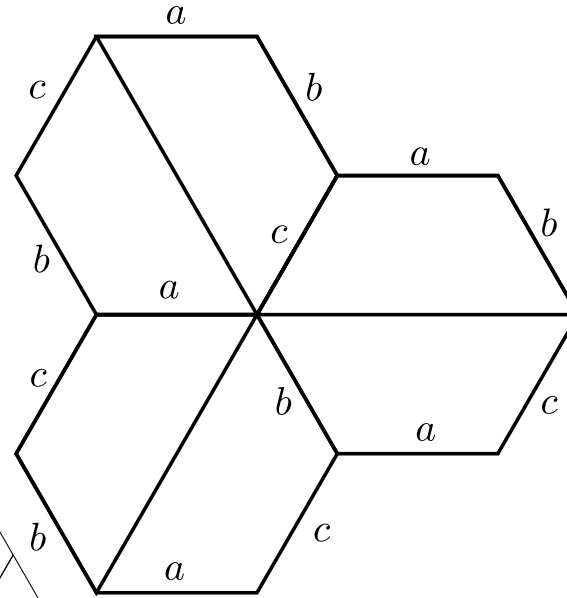
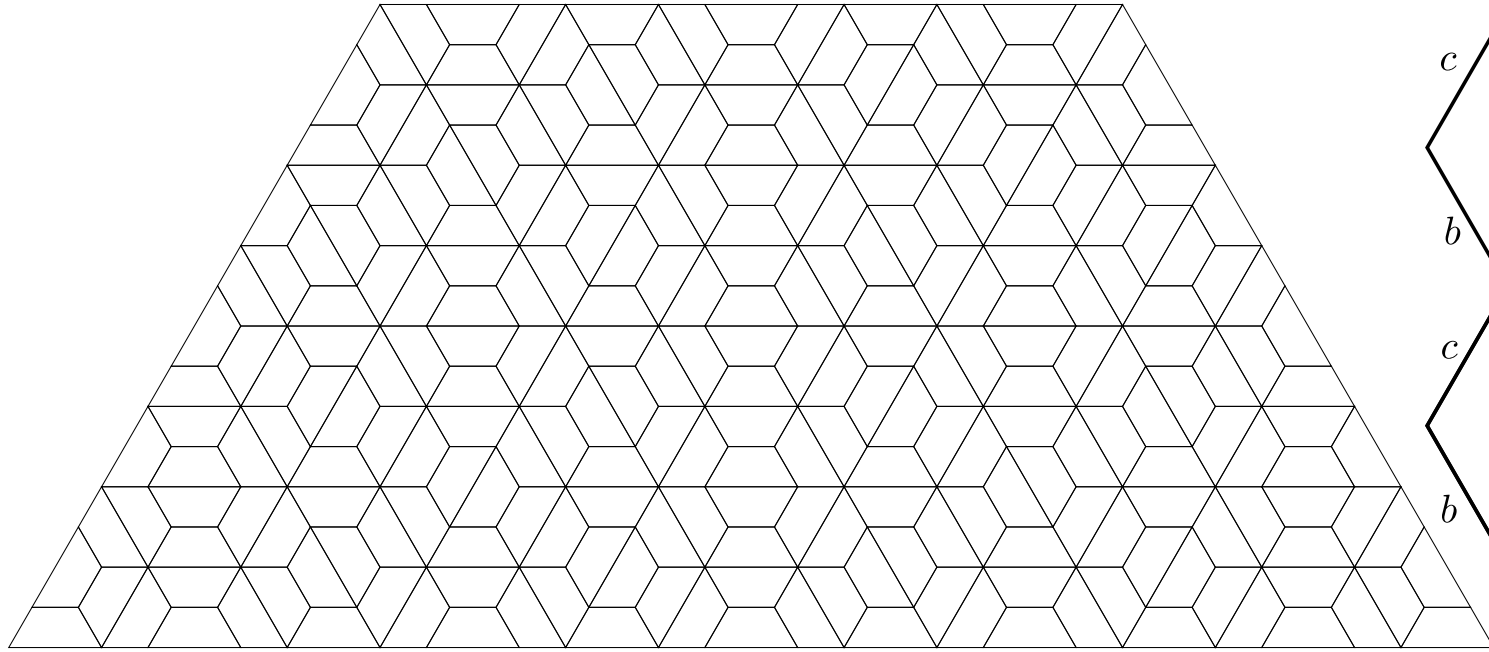


# El gas de Lorentz en cuasicristales

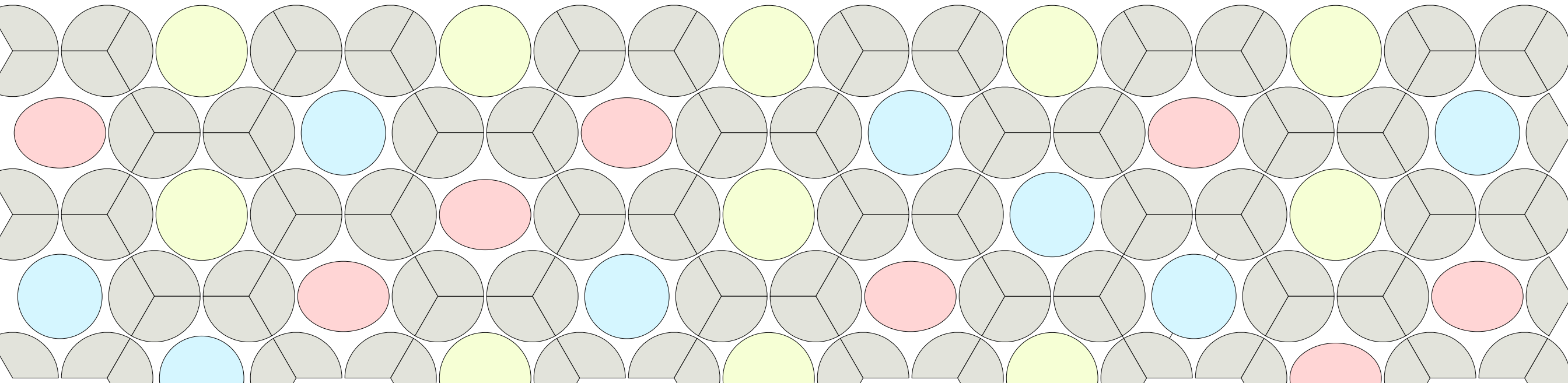
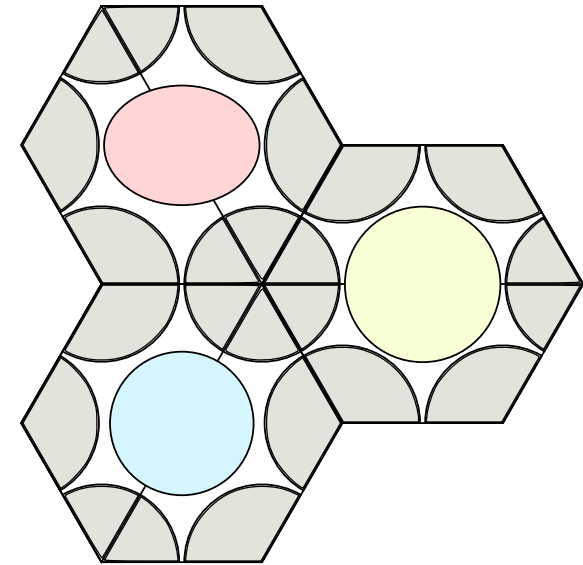
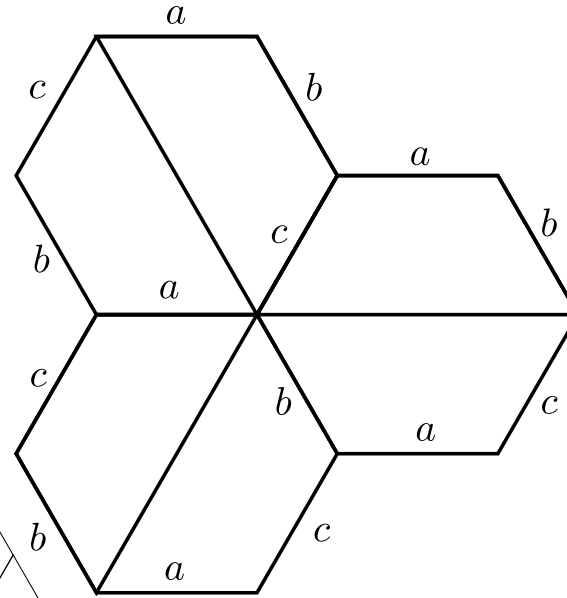
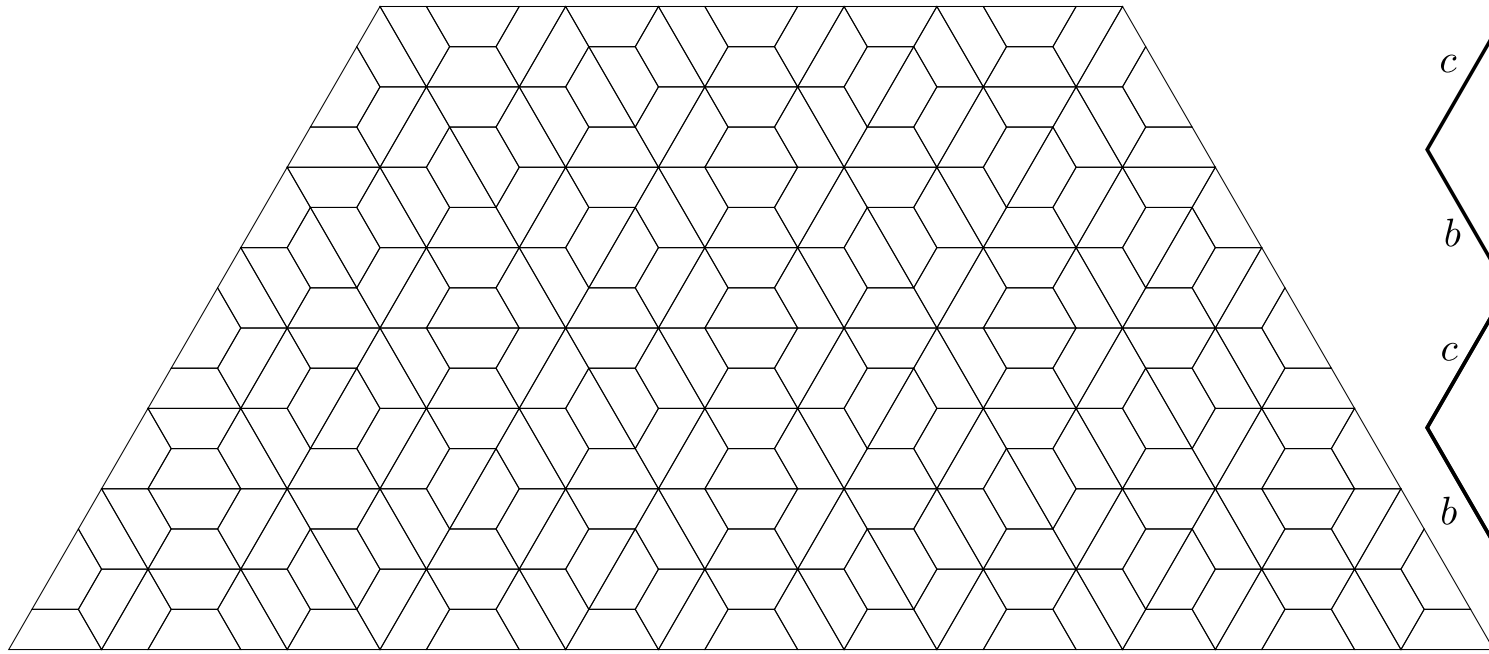


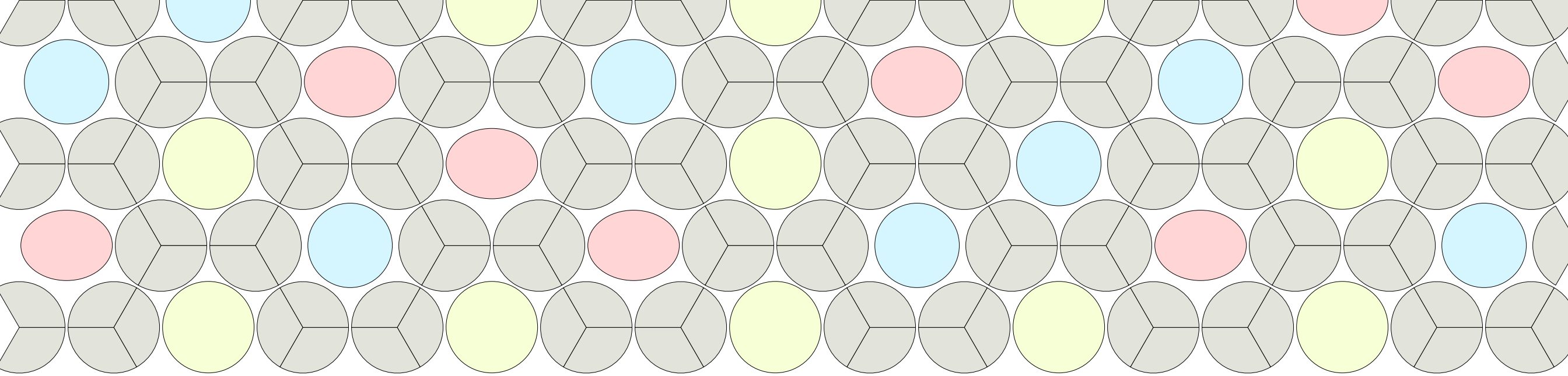


# El gas de Lorentz en cuasicristales

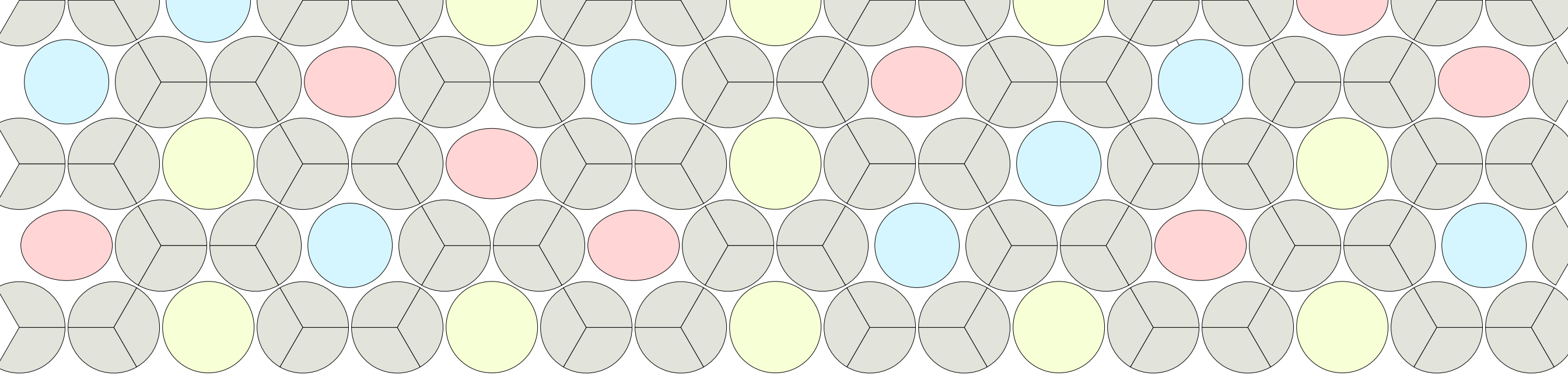


# El gas de Lorentz en cuasicristales

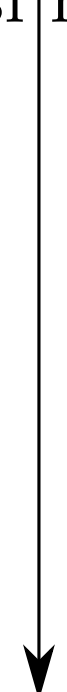




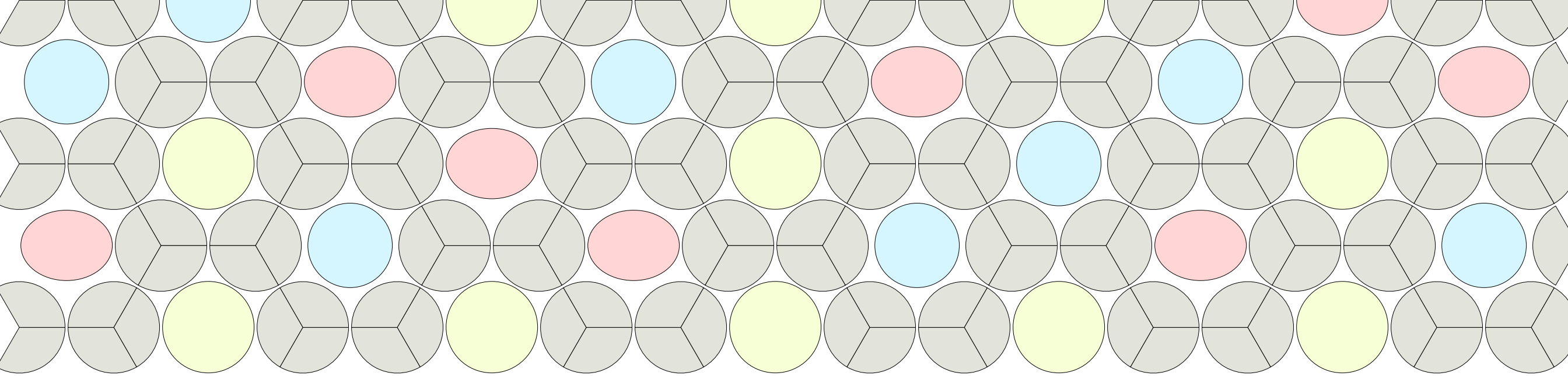
Casi nada se sabe del gas de Lorentz aperiódico



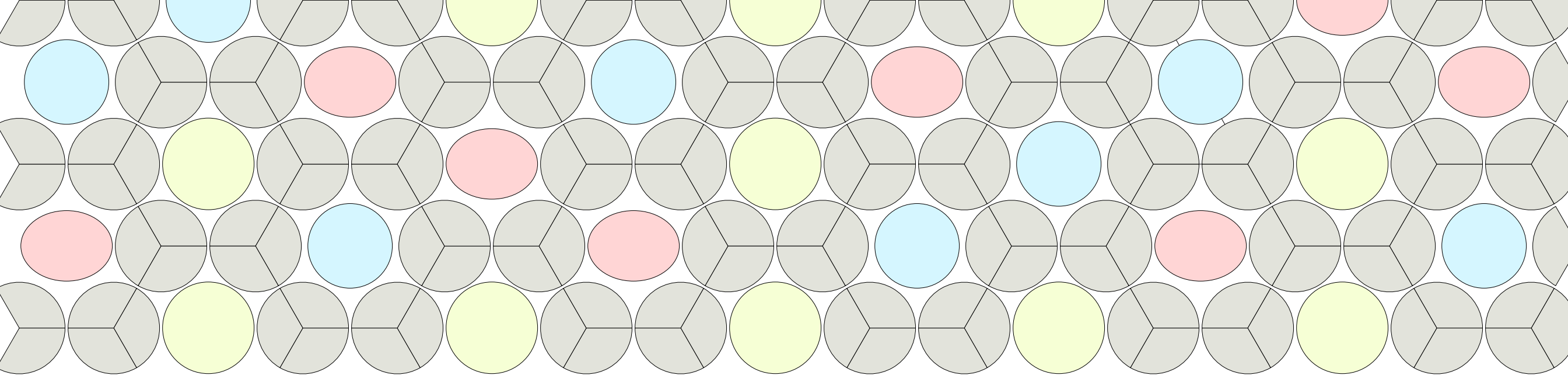
Casi nada se sabe del gas de Lorentz aperiódico



$\Omega_\varepsilon$



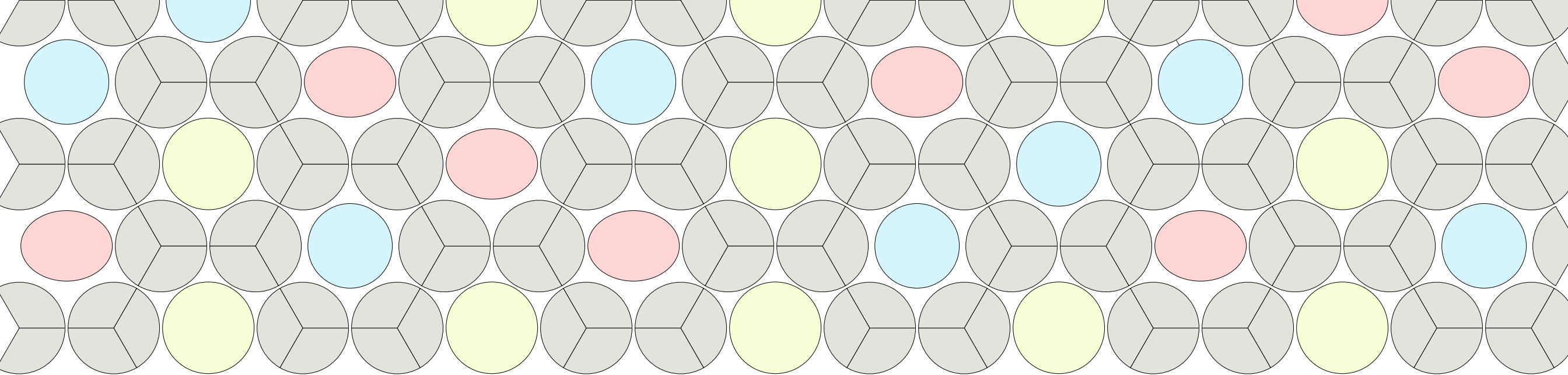
$\Omega_\varepsilon \times [-\pi/2, \pi/2]$



Casi nada se sabe del gas de Lorentz aperiódico



$$\mathcal{D} \subset \Omega_\varepsilon \times [-\pi/2, \pi/2]$$

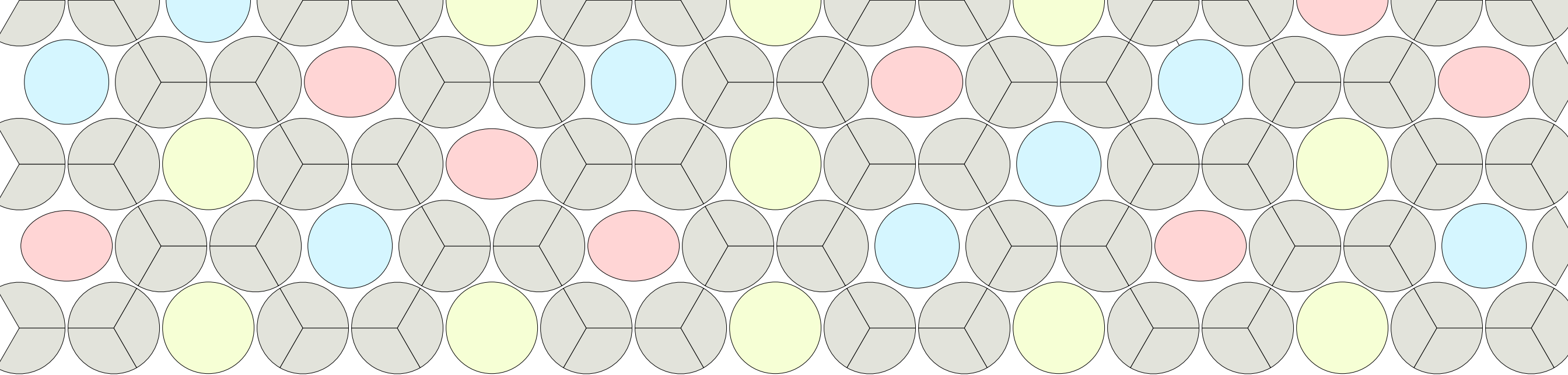


Casi nada se sabe del gas de Lorentz aperiódico

Si  $h_1, h_2 : \mathbb{R}^2 \times (-\pi/2, \pi/2) \rightarrow \mathbb{R}$  es una función localmente integrable y depende solo de la configuración local de  $\mathcal{E}$



$$\mathcal{D} \subset \Omega_{\mathcal{E}} \times [-\pi/2, \pi/2]$$



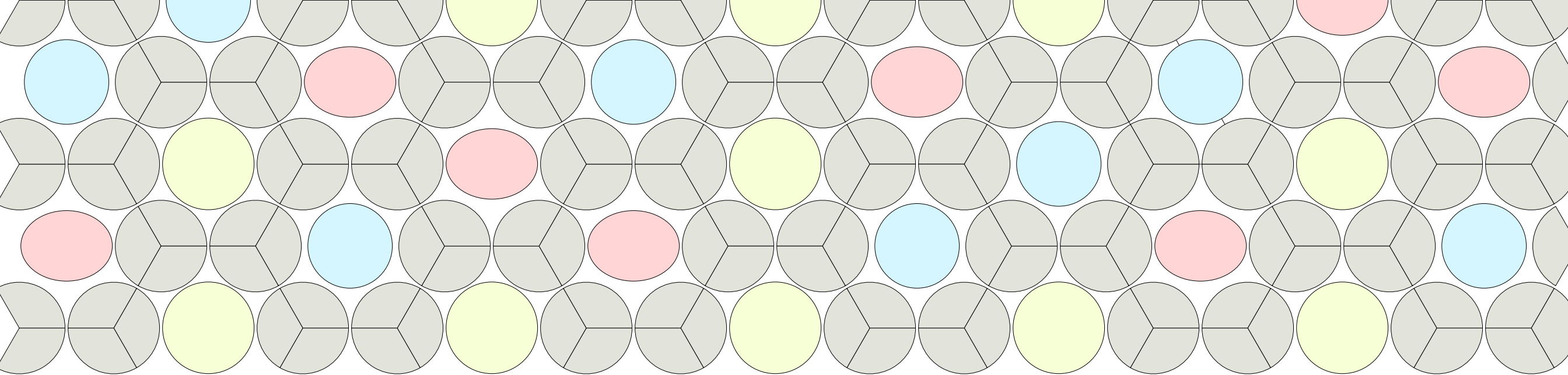
Casi nada se sabe del gas de Lorentz aperiódico

Si  $h_1, h_2 : \mathbb{R}^2 \times (-\pi/2, \pi/2) \rightarrow \mathbb{R}$  es una función localmente integrable y depende solo de la configuración local de  $\mathcal{E}$

**Teorema** (T-Zelerowicz 2021)

$$\mathcal{D} \subset \Omega_{\mathcal{E}} \times [-\pi/2, \pi/2]$$



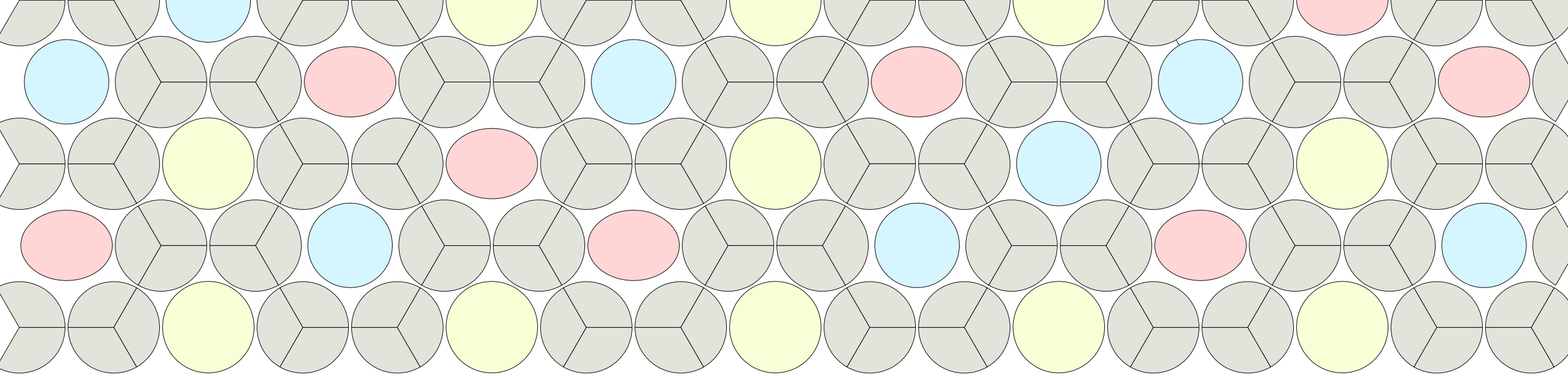


Casi nada se sabe del gas de Lorentz aperiódico

Si  $h_1, h_2 : \mathbb{R}^2 \times (-\pi/2, \pi/2) \rightarrow \mathbb{R}$  es una función localmente integrable y depende solo de la configuración local de  $\mathcal{E}$

**Teorema** (T-Zelerowicz 2021): Para cada  $x \in \partial\mathcal{S}$ ,

$$\mathcal{D} \subset \Omega_{\mathcal{E}} \times [-\pi/2, \pi/2]$$



Casi nada se sabe del gas de Lorentz aperiódico

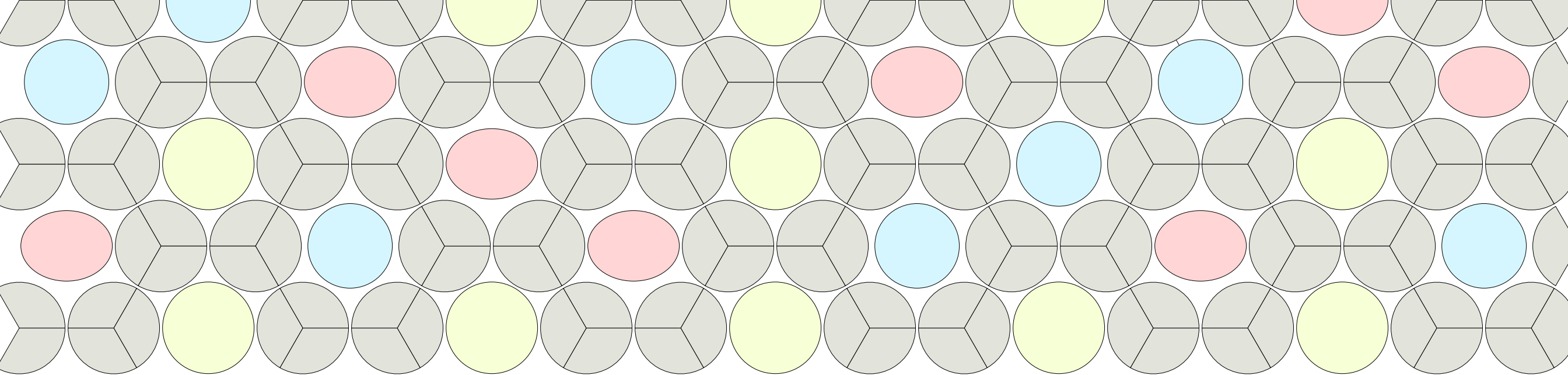
Si  $h_1, h_2 : \mathbb{R}^2 \times (-\pi/2, \pi/2) \rightarrow \mathbb{R}$  es una función localmente integrable y depende solo de la configuración local de  $\mathcal{E}$

**Teorema** (T-Zelerowicz 2021): Para cada  $x \in \partial\mathcal{S}$ ,

$$h_1 \circ F^n \cdot h_2(y, \theta)$$

↓

$$\mathcal{D} \subset \Omega_{\mathcal{E}} \times [-\pi/2, \pi/2]$$



Casi nada se sabe del gas de Lorentz aperiódico

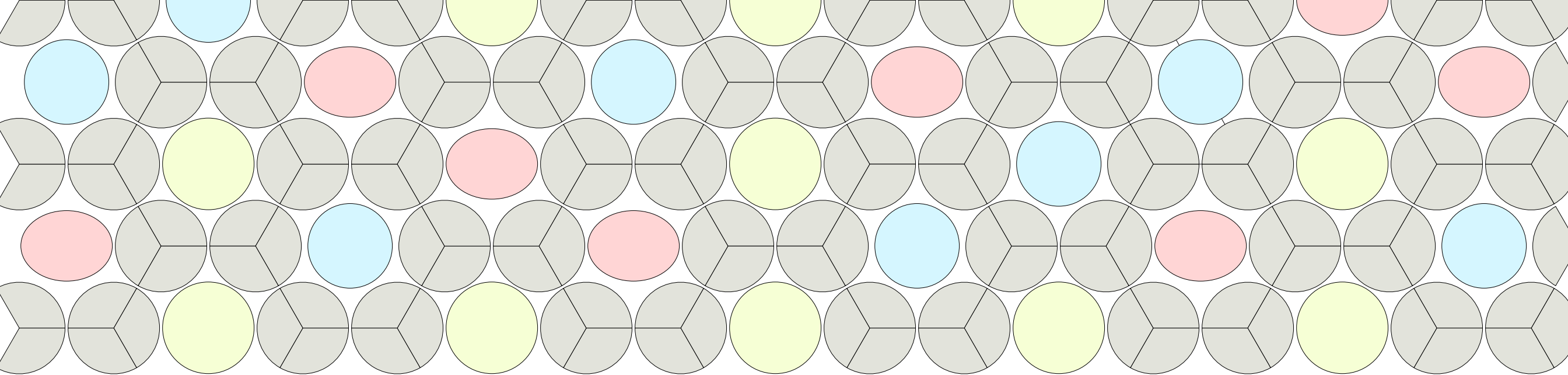
Si  $h_1, h_2 : \mathbb{R}^2 \times (-\pi/2, \pi/2) \rightarrow \mathbb{R}$  es una función localmente integrable y depende solo de la configuración local de  $\mathcal{E}$

**Teorema** (T-Zelerowicz 2021): Para cada  $x \in \partial\mathcal{S}$ ,

$$\int_{-\pi/2}^{\pi/2} h_1 \circ F^n \cdot h_2(y, \theta) \cos \theta d\theta$$

↓

$$\mathcal{D} \subset \Omega_{\mathcal{E}} \times [-\pi/2, \pi/2]$$



Casi nada se sabe del gas de Lorentz aperiódico

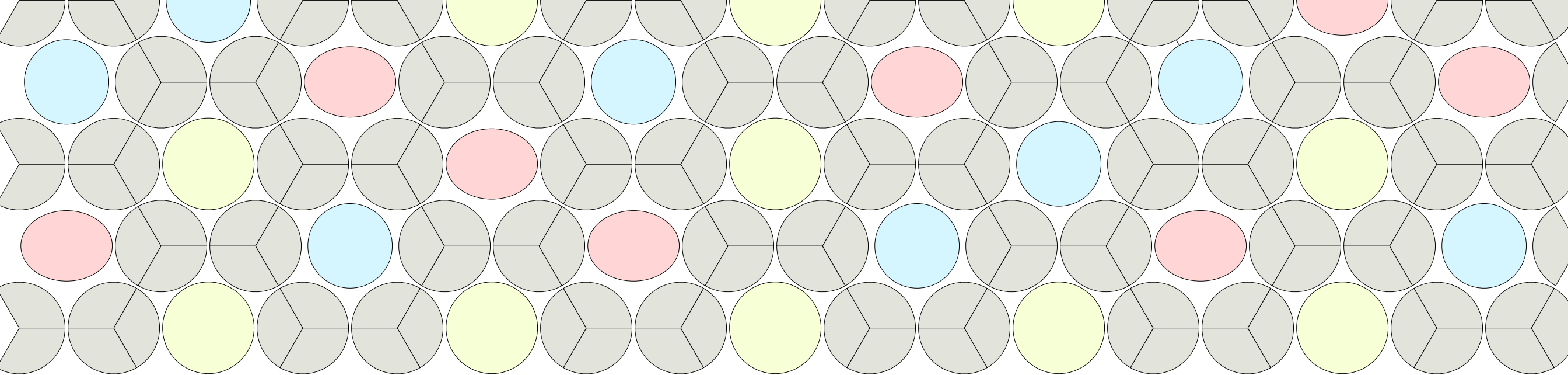
Si  $h_1, h_2 : \mathbb{R}^2 \times (-\pi/2, \pi/2) \rightarrow \mathbb{R}$  es una función localmente integrable y depende solo de la configuración local de  $\mathcal{E}$

**Teorema** (T-Zelerowicz 2021): Para cada  $x \in \partial\mathcal{S}$ ,

$$\frac{1}{2\pi T^2} \int_{\partial\mathcal{S} \cap B_T(x)} \int_{-\pi/2}^{\pi/2} h_1 \circ F^n \cdot h_2(y, \theta) \cos \theta \, d\theta \, dy$$

↓

$$\mathcal{D} \subset \Omega_{\mathcal{E}} \times [-\pi/2, \pi/2]$$



Casi nada se sabe del gas de Lorentz aperiódico

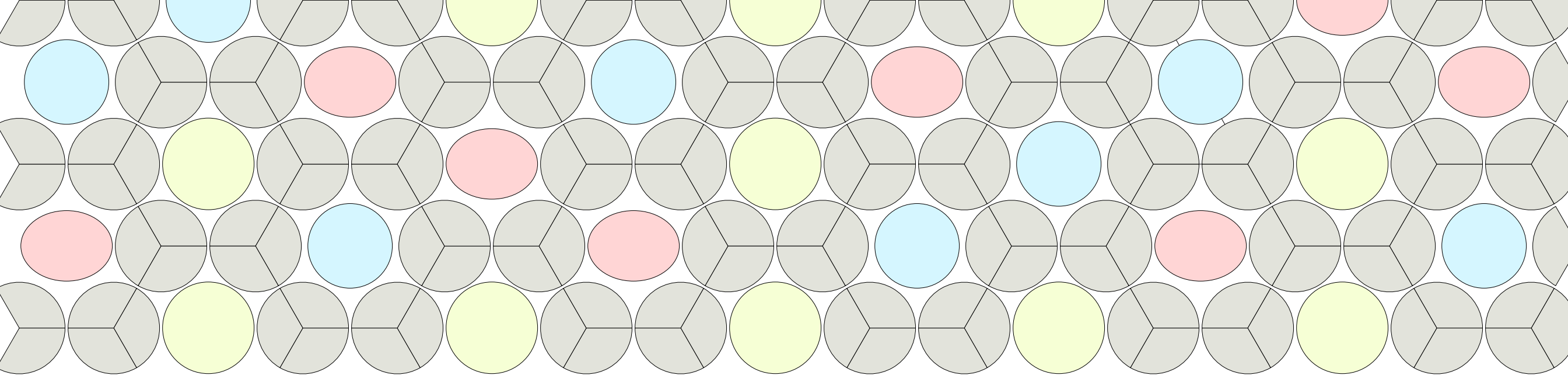
Si  $h_1, h_2 : \mathbb{R}^2 \times (-\pi/2, \pi/2) \rightarrow \mathbb{R}$  es una función localmente integrable y depende solo de la configuración local de  $\mathcal{E}$

**Teorema** (T-Zelerowicz 2021): Para cada  $x \in \partial\mathcal{S}$ ,

$$\lim_{T \rightarrow \infty} \frac{1}{2\pi T^2} \int_{\partial\mathcal{S} \cap B_T(x)} \int_{-\pi/2}^{\pi/2} h_1 \circ F^n \cdot h_2(y, \theta) \cos \theta \, d\theta \, dy$$

↓

$$\mathcal{D} \subset \Omega_{\mathcal{E}} \times [-\pi/2, \pi/2]$$



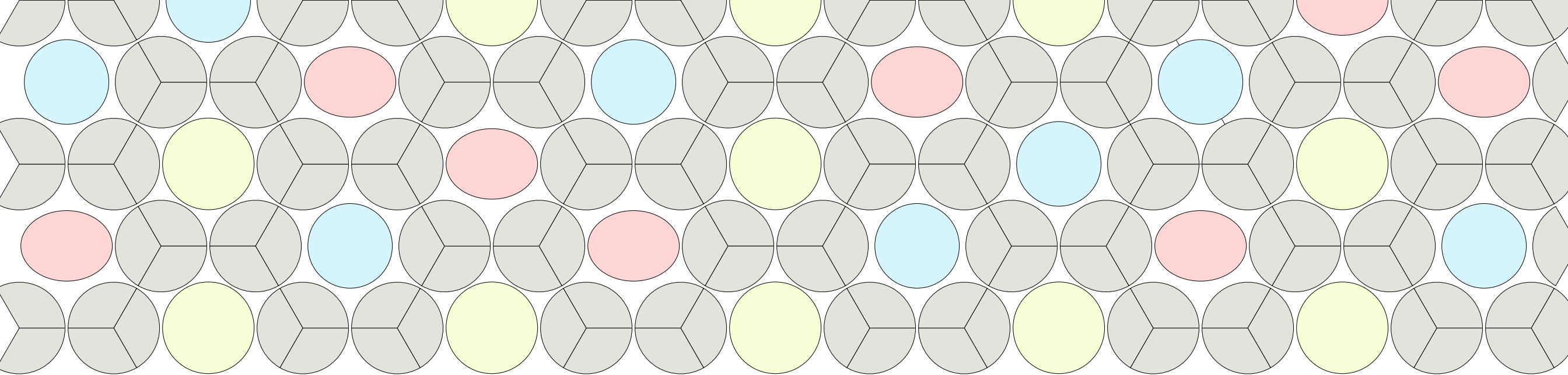
Casi nada se sabe del gas de Lorentz aperiódico

Si  $h_1, h_2 : \mathbb{R}^2 \times (-\pi/2, \pi/2) \rightarrow \mathbb{R}$  es una función localmente integrable y depende solo de la configuración local de  $\mathcal{E}$

**Teorema** (T-Zelerowicz 2021): Para cada  $x \in \partial\mathcal{S}$ ,

$$\lim_{n \rightarrow \infty} \lim_{T \rightarrow \infty} \frac{1}{2\pi T^2} \int_{\partial\mathcal{S} \cap B_T(x)} \int_{-\pi/2}^{\pi/2} h_1 \circ F^n \cdot h_2(y, \theta) \cos \theta \, d\theta \, dy$$

$$\mathcal{D} \subset \Omega_{\mathcal{E}} \times [-\pi/2, \pi/2]$$



Casi nada se sabe del gas de Lorentz aperiódico

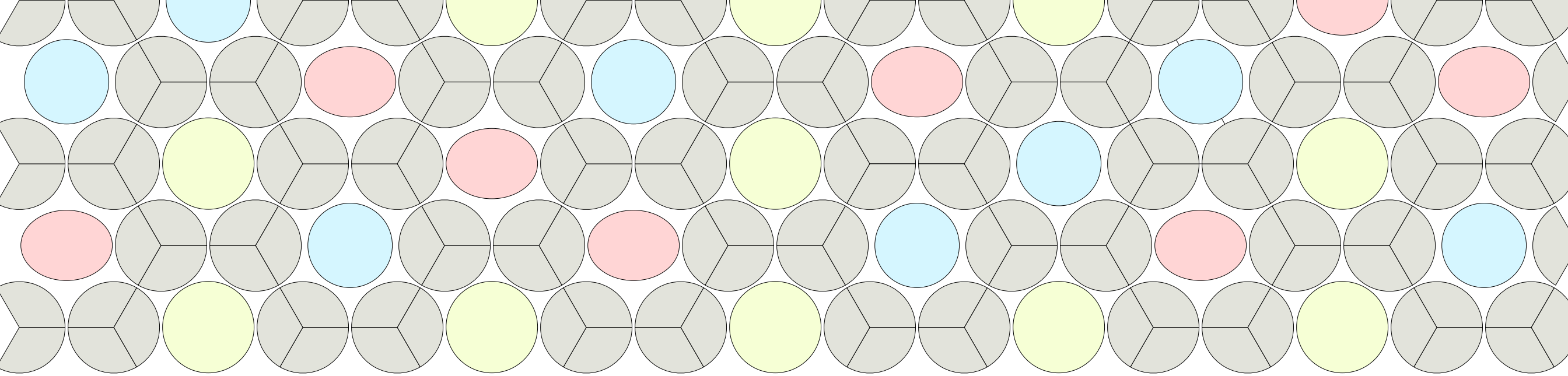
Si  $h_1, h_2 : \mathbb{R}^2 \times (-\pi/2, \pi/2) \rightarrow \mathbb{R}$  es una función localmente integrable y depende solo de la configuración local de  $\mathcal{E}$

**Teorema** (T-Zelerowicz 2021): Para cada  $x \in \partial\mathcal{S}$ ,

$$\lim_{n \rightarrow \infty} \lim_{T \rightarrow \infty} \frac{1}{2\pi T^2} \int_{\partial\mathcal{S} \cap B_T(x)} \int_{-\pi/2}^{\pi/2} h_1 \circ F^n \cdot h_2(y, \theta) \cos \theta \, d\theta \, dy$$

=

$$\mathcal{D} \subset \Omega_{\mathcal{E}} \times [-\pi/2, \pi/2]$$



## Casi nada se sabe del gas de Lorentz aperiódico

Si  $h_1, h_2 : \mathbb{R}^2 \times (-\pi/2, \pi/2) \rightarrow \mathbb{R}$  es una función localmente integrable y depende solo de la configuración local de  $\mathcal{E}$

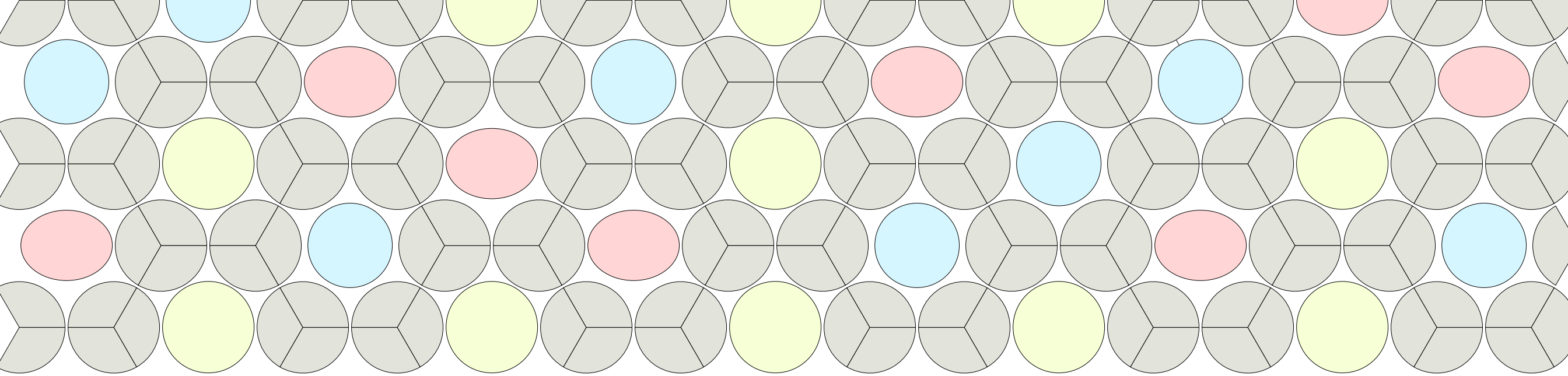
**Teorema** (T-Zelerowicz 2021): Para cada  $x \in \partial\mathcal{S}$ ,

$$\lim_{n \rightarrow \infty} \lim_{T \rightarrow \infty} \frac{1}{2\pi T^2} \int_{\partial\mathcal{S} \cap B_T(x)} \int_{-\pi/2}^{\pi/2} h_1 \circ F^n \cdot h_2(y, \theta) \cos \theta \, d\theta \, dy$$

$$= \left( \lim_{T \rightarrow \infty} \frac{1}{2\pi T^2} \int_{\partial\mathcal{S} \cap B_T(x)} \int_{-\pi/2}^{\pi/2} h_1(y, \theta) \cos \theta \, d\theta \, dy \right) \left( \lim_{T \rightarrow \infty} \frac{1}{2\pi T^2} \int_{\partial\mathcal{S} \cap B_T(x)} \int_{-\pi/2}^{\pi/2} h_2(y, \theta) \cos \theta \, d\theta \, dy \right)$$

$$\mathcal{D} \subset \Omega_{\mathcal{E}} \times [-\pi/2, \pi/2]$$





## Casi nada se sabe del gas de Lorentz aperiódico

Si  $h_1, h_2 : \mathbb{R}^2 \times (-\pi/2, \pi/2) \rightarrow \mathbb{R}$  es una función localmente integrable y depende solo de la configuración local de  $\mathcal{E}$

**Teorema** (T-Zelerowicz 2021): Para cada  $x \in \partial\mathcal{S}$ ,

$$\lim_{n \rightarrow \infty} \lim_{T \rightarrow \infty} \frac{1}{2\pi T^2} \int_{\partial\mathcal{S} \cap B_T(x)} \int_{-\pi/2}^{\pi/2} h_1 \circ F^n \cdot h_2(y, \theta) \cos \theta \, d\theta \, dy$$

$$= \left( \lim_{T \rightarrow \infty} \frac{1}{2\pi T^2} \int_{\partial\mathcal{S} \cap B_T(x)} \int_{-\pi/2}^{\pi/2} h_1(y, \theta) \cos \theta \, d\theta \, dy \right) \left( \lim_{T \rightarrow \infty} \frac{1}{2\pi T^2} \int_{\partial\mathcal{S} \cap B_T(x)} \int_{-\pi/2}^{\pi/2} h_2(y, \theta) \cos \theta \, d\theta \, dy \right)$$

$$\mathcal{D} \subset \Omega_{\mathcal{E}} \times [-\pi/2, \pi/2]$$

$$\bar{\mu}(f_1) \bar{\mu}(f_2)$$